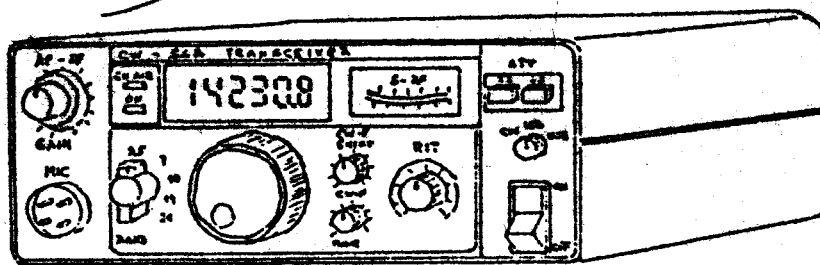
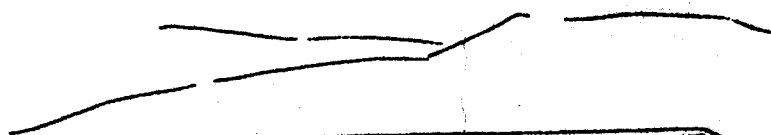
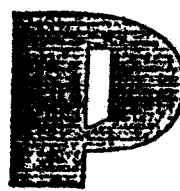
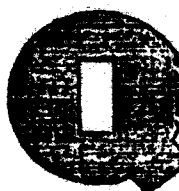


# Sborník



březen

1997

# OBSAH

|   |    |
|---|----|
| Systém ochrany proti účinkům blesku u radioamatérských zařízení | 1  |
| Lineární zesilovač kmitočtu na 144MHz                           | 14 |
| Jednoduchá digitální stupnice - měřic kmitočtu ..               | 15 |
| Zdroj 12V/20A   | 21 |
| QRP vysílač " Blecha "  | 25 |
| Hodnocení kvality tranzistoru                                   | 25 |
| Nízkofrekvenční telegrafní filtr                                | 29 |
| Antenní tuner K6BSU   | 29 |
| Verze transceivru PIXIE   | 32 |
| MF zesilovač s TCA440   | 34 |
| Přepinatelný krystalový filtr CW/SSB                            | 36 |
| Nový QRP transceiver  | 38 |
| Sirokopásmový zesilovač VF                                      | 47 |
| TX QRPP   | 48 |
| PSV-metr  | 48 |
| Dvoupásmový transceiver   | 49 |
| Wattmetr pro QRP  | 52 |
| Přepinatelné VXO  | 58 |

# Systém ochrany proti účinkům blesku u amatérských radiostanic

Hans-Jochen Maneck - DL9OBL

Na základě dálé rozvinutých norem pro ochranu před účinky blesku DIN VDE 0185, díl 100 (IEC 1024-1), DIN VDE 0855 a DIN VDE 0845 a příslušné doprovodné literatury bude dále popsána ochrana proti účinkům blesku u amatérských radiostanic s vnější anténou. Je-li zařízení ve všech ochranných zónách amatérské usedlosti zhotoveno důsledně podle norem, lze škodlivé účinky blesku podstatně omezit.

## Úvod: LEMP-story

Neustále narůstá počet mých přátel, jejichž vysílací a jiná domácí elektronika po přímém nebo blízkém úderu blesku "odešla" do elektronického šrotu. Trvá to asi jednu miliontinu vteřiny - tedy příliš málo času na vytažení anténního konektoru nebo na přepnutí uzemňovacího spinače.

Jeden můj známý je dlouholetý radioamatér. Jeho pýchou byl 26 m vysoký antenní stožár, postavený v blízkosti rodinného domku. Pak přišel "černý den".... Zatímco on ve svém ham-shacku vyřizoval QSL-agendu, připravoval se jeho kovový příhradový stožár stát se svodem elektrického náboje místní bouřky.

Před svedením blesku stožárem došlo k mohutnému nárustu intenzity pole (z 1 V/cm na víc než 1000 V/cm). OM vyprávěl: ....když jsem se podíval z okna, vstaly mi hrůzou vlasy na hlavě. S ohlušujícím třeskem a oslnujícím zábleskem si blesk našel špičku stožáru. Mimo roztaveného konce stožáru a všechnové antény pro 2 metry odolal zásahu blesku příhradový stožár, beam a rotátor.

Když OM zjistil rozsah dalších škod, vstaly mu vlasy na hlavě hrůzou znova. Veškerá elektronika od špičkového transceiveru, HiFi-zařízení, ledničky až po telefon - všechno zničeno. Škoda asi za 40.000,- DM. LEMP (lightning electromagnetic pulse - elektromagnetický impuls) se ukázal v plné síle...

## Vnější a vnitřní ochrana proti blesku

V uvedeném případě neutrpěl naštěstí nikdo zranění. Přesto nás tato příhoda přivádí přímo k základům problematiky ochrany před účinky úderu blesku.

Bez dálé uvedených opatření tzv. vnitřní protibleskové ochrany (přepěťová ochrana, zamezení jiskření, bezpečné rozdělení a odvedení blesku) v blízkém obytném prostoru je samotná i když odborně správně provedená vnější protiblesková ochrana pro lidi, zvířata i předměty stále nebezpečná.

Teprve po zohlednění všech zón lze hovořit o vysoké účinné protibleskové ochraně. Rádně provedená protiblesková ochrana dnes patří k bezpečnostnímu standardu amatérské stanice.

## Protibleskové ochranné zóny POZ

Celou amatérskou usedlost lze rozdělit na zóny. Na obr.1 vidíme typickou amatérskou radiostanici s anténním stožárem v těsné

bízkosti obytného prostoru. Celkové zařízení se skládá z obytné budovy (B2), stožáru (B1) a pomocného stožáru (B3). Všechny části zařízení jsou z hlediska protibleskové ochrany připojeny na jeden zemníci systém.

Podle [1] přichází pro obytnou budovu (v úvahu) protiblesková ochrana budov třídy III. Nejdůležitější hodnoty jsou uvedeny v tab. 2.

Je záhadno přenechat stavbu ochranného zařízení i připojení na případná další zařízení odborníkovi. Radioamatér by ovšem měl mít solidní znalosti protibleskové ochrany, zvláště pokud taková komplexní zařízení provozuje.

#### POZ 0

Zde má blesk neomezené pole účinnosti. Možná místa úderu (stožár, pomocný stožár a satelitní anténa) vyznačená v obrázku bleskovými šípkami lze zjistit pomocí metody bleskové koule: přitom "koufme" fiktivní kouli ( $r = 45$  m, viz tab. 2) různými směry po obrysu v měřítku nakreslené usedlosti. Tam, kde se zkušební koule dotýká částí usedlosti, je nebezpečí úderu. Zde je nutno instalovat jímací zařízení. Exponovaná poloha stožáru přesto nezaručuje, že právě on bude místem úderu. Mohou se vyskytnout také vedlejší údery.

To je dánio tím, že půdní elektřina otevře vstříc roztržitěnému blesku vícero nitkových kanálů. Vítr, vodivost a jiné vlivy mohou takto bleskosvodný kanál odchýlit od nejvyššího bodu - jev, který zkoumáním blesků ještě není zcela objasněn.

Kovové díly, dotýkající se zóny 0, popř. do ní zasahující (obrubky, protisíňehové zábrany, schodiště, stožáry, držáky parabolických antén aj.) je nutno do ochrany zahrnout také. To znamená: kovové vodivé spojení nebo galvanicky oddělené, ale přesto pro bleskový impuls vodivé spojení, což se provádí tzv. jiskřištěm. Tak mohou např. střešní stojany el. vedení, větrací potrubí a jiná cizí zařízení být spojena s vnější protibleskovou ochranou pouze jiskřištěm.

Tabulka 3 uvádí údaje o minimálních rozměrech obvyklých materiálů pro vnější protibleskovou ochranu. V zóně 0 nesmí být používány silnoproudé spojovací prvky, ale jen normou dané proudem blesku zatížitelné prvky. Není-li u budovy plánována žádná protiblesková ochrana, je v každém případě nutno všechny do zóny 0 zasahující antény vybavit jímací a uzemněním podle [3].

#### POZ 0/E

Pod drahami kouli ležící oblast 0/E není sice ohrožena úderem blesku, ale přesto i zde LEMP proniká všemi kovovými smyčkami (tab. 1). Kritická je na obr. 1 vykřičníkem zdůrazněná smyčka stožár - napájecí/ovládací vedení - ham-shack - transceiver - síťový přived - zemnický sběrnice Z - vodič pro vyrovnaný potenciálu mezi stožárem a sběrnici.

Bez přídavného stínění, zemnění a přepěťové ochrany se podle vzorce

$$U = M(\Delta i / \Delta t)$$

(kde  $M$  je indukčnost smyčky, např.  $10 \mu H$  pro čtvercovou smyčku  $10 \text{ m} \times 10 \text{ m}$  a  $\Delta i / \Delta t$ ,  $100 \text{ kA}/\mu s$  - je dělitelnost proudu blesku) může mezi anténnou a síťovou částí transceiveru objevit pravoúhlé indukované napětí až  $1 \text{ MV}$ . Obr. 2 ukazuje opatření pro zredukování

### indukovaného napětí:

- stínící trubku, stožár a ham-shack oboustranně uzemnit
- vyrovnání potenciálu stožár - dům
- přepěťová ochrana aktivních vodičů
- uzemnění stínění koaxiálního kabelu

Lepším řešením by bylo svést stínící trubku až k patě stožáru a její přivedení pod zemí až do sklepa (suterénu) domu s přímým připojením stínící trubky na zemnicku sběrnici 2.

Zemnické svody od jednotlivých antén na domě by mely vést přímo k hlavnímu zemnickému svodu. Průchozí vodovodní a teplovodné potrubí a ocelové armatury v betonu jsou sice podle [3] jako svody přípustné, raděj ovšem tuto možnost nevyužívat. Nekontrolovaná rozdělení proudu blesku, přiblížení, indukční smyčky a přerušení mohou způsobit škody. Zvláštní přímo vedený svod učiní tyto poměry naprostě jasnými.

### PoZ 1

Tento ochranný prostor se vyznačuje úplným vyrovnáním potenciálu protibleskové ochrany všech v zóně 1 se nacházejících kovových instalací a aktivních vodičů. Obrázek 2 ukazuje na příkladu uváděné stanice spojované, vícenásobně uzemněné vyrovnání potenciálu. Zbývající jiskřící místa (přiblížení) otevřené smyčky k dílům zóny 0 a 0/E jsou rovněž zobrazena.

### Vyrovnávací potenciálová síť

Základem tohoto systému je zemnická sběrnice 2 ve sklepě ve výšce terénu. Zde se podle [5] osvědčila kolem dokola vedená ocelová pozinkovaná nebo měděná sběrnice (50 mm<sup>2</sup>). Po každých asi 5 m je třeba sběrnici spojit s uzemňovaným zařízením. Veškerá do budovy vstupující kovová potrubí, stínění kabelů a konstrukční díly je nutno připojit přímo na zemnickou sběrnici 2. Bleskosvody, svody přepětí a jiskřiště aktivních vodičů je nutno nejkratší cestou spojit se zemnickou sběrnicí 2. Hlavní vyrovnání potenciálu podle DIN VDE 0100, díl 0410 (ochrana proti nebezpečnému dotykovému napětí) musí být rovněž na sběrnici připojeno.

Centrum vyrovnání potenciálu na úrovni ham-shacku je ve výšce přístrojů kolem dokola vedená sběrnice 1 pro vyrovnání potenciálu v ham-shacku (VP 1, rozměry jako zemnická sběrnice ZS 2). VP 1 je několikanásobně propojena se ZS 2.

Všechny kovové přístrojové skříně v ham-shacku, svody, potrubí, vodivé konstrukce, stínění vodičů a kabelů a ochranný vodič elektrických zařízení se jednotlivě připojí na VP 1. Sběrnice 2 pro vyrovnání potenciálu (VP 2) spojuje stínění napáječe domovních antén. Stožár zasahující do zóny 1 musí být rovněž připojen na sběrnici VP 2.

### Přepěťová ochrana aktivních vodičů

Přehledné zobrazení stupňovité ochrany aktivních vodičů proti rušivým veličinám LEMP, SEMP (switching electromagnetic pulse - spínací přepětí), bleskovým vlnám a ESD (electrostatic discharge - elektrostatický výboj) ukazuje obr.3.

Ke každé izolační oblasti v domovní elektrické instalaci bude

Přiřazen určitý přepěťový svodič. Uspořádání bleskosvodů je nutno nechat odsouhlasit energetickým rozvodným podnikem, protože rozhraní zón leží v monopolní oblasti. Totéž platí i pro telefonní vedení. Nemá-li telefonní vedení žádný svodič přepětí, má být mezi instalací a zařízením pro vyrovnaní potenciálu síťových zařízení dodržen bezpečnostní odstup.

Protože náběhové napětí vodičů  $U_m$  je nižší než izolační pevnost instalace, nebude izolace při výskytu přepětí poškozena. Veškeré svodiče mají odpovídat požadovaným třídám.

Bezpodmínečně je nutno dodržet pokyny výrobce pro montáž, zkoušky a uzemnění.

#### Přiblížení

Otevřeným instalacním smyčkám, jejichž konce umožňují přeskok indukovaného LEMP, se v protibleskové technice říká přiblížení. V obr.2 jsou zdůrazněna dvě přiblížení. Protože je nelze přemostit, musí být bezpečnostní odstup větší než je přeskoková vzdálenost.

Je-li délka svodiče  $L$  od místa přiblížení po další úrovně vyrovnaní potenciálu (zde VP2) 3 m, musí být bezpečnostní odstup od elektroinstalace  $B0 \geq 0,044 L$ , tedy min. 0,132 m.

Bezpečnostní odstup mezi teplotním čidlem Č a svodičem musí být  $B0 \geq 0,022L$  (tab.2), protože dielektrikem v místě přeskoku je vzduch.

Vlivem několikanásobných úrovní pro vyrovnaní potenciálu jsou indukčnosti smyček malé. Tím se také značně zmenšují nutné bezpečnostní odstupy u přiblížení.

#### POZ 2

Tuto zónu tvoří prostor uvnitř přístrojů, ohrazený kovovým krytem. Všechna do přístroje vedoucí vedení (síťové, ovládací, mikrofonní a další) jsou zpravidla už od výrobce vybavena filtry, dolními propustmi, RC- popř. LC-členy. Home-made zařízení by měla v každém případě mít kovový kryt a uvedené prvky. Vodič pro vyrovnaní potenciálu by měl mít zvláštní připojovací svorku.

#### Uzemňovací zařízení

Každé dílčí protibleskové zařízení musí mít vlastní zemnič popř. vlastní zemnič zařízení. Základní princip je realizován u zařízení B1, B2 a B3 na obr.1.

Centrální společný uzel všech zemničích zařízení je na zemniči sběrnici ESS 1 v patě stožáru. Vf zemniči sítě speciálních antennních systémů, jako např. groundplane, sloper aj. jsou k němu rovněž připojeny.

Tím je dáno nejen příznivé rozdělení bleskového proudu, ale zároveň se zamezí nebezpečným přeskokům a krokovým napětím okolo místa úderu blesku.

#### Zemniči zařízení B1 (stožár).

Z hlediska protibleskové ochrany se stožár opírá o základový zemnič v základu stožáru a paralelně připojené zemniče (kruh nebo více paprskovitě uložených zemničů). Tyto slouží ke zploštění "napěťového truchty", který se vytvoří kolem stožáru při přímém

zásahu. Všechny zemniče, spoje k sousedícím zemnicím zařízením a ke stožáru se samostatně připojí na zemníci sběrnici. Je výhodné provést přímé velkoplošné (asi  $100 \text{ cm}^2$ ) kovové vodivé spojení sběrnice s patou stožáru. Upevnění je dobré provést několika šrouby M10. Popis připojení popř. situační plánek patří k pečlivě provedenému zařízení.

#### Zemníci zařízení B2 (obytný dům)

Oproti jiným druhům zemničů je uzavřený domovní základový zemníč (Z2) ideálním zemníčem protibleskové ochrany. Účinná zemníč délka hlubokých, dlouhých a šikmých zemničů se zmenšuje vlivem délkové indukčnosti a příčné kapacity při průchodu bleskového proudu. U základového zemniče tomu tak není. Při stavbě nového domu je proto bezpodmínečně nutno dbát na to, aby ze základového zemníče byl vyveden dostatek odboček pro svodiče vnějších protibleskových zařízení a pro zemníci sběrnici ZS 2 ve sklepě. Při ukládání základového zemniče má být dodržena norma [9].

Chybí-li základový zemníč, lze dodatečně položit uzavřený kruhový zemníč kolem domu (min. hloubka 0,5 m, odstup od vnějšího základu 1 m). Protibleskovou ochranu budovy lze rovněž vytvořit dvěma zvlášt' instalovanými paprskovitými nebo hlubokými zemniči (min. délka paprskovitých zemničů 5 m, hlubokého zemniče 2,5 m).

#### Zemníci zařízení B3 (napínací stožár)

Do zóny 0 zasahující napínací stožár se doplní dvěma šikmými zemniči délky min. 2,5 m. Zde se rovněž doporučuje instalovat v patě stožáru sběrnici a spojit ji s kovovým stožárem spojem, který snese zatížení bleskovým proudem.

Dřevěný stožáry je nutno opatřit jednotlitym masivním drátem zasahujícím až na dno stožárové šachty. Takový svodič zabrání roztržštění stožáru při zásahu bleskem. Kovová napínací lana je rovněž nutno spojit se zemnicím zařízením.

#### Rozšířený zemní odpór $R_A$

Pro uvedenou protibleskovou ochranu s pečlivě provedeným vyrovnáním potenciálu se nevyžaduje žádný určitý rozšířený zemní odpór  $R_A$ . Odpor je závislý na délce a formě zemniční a na specifickém uzemňovacím odporu. Zde popisované popropojované zemníci zařízení bude u typické hlinité a orné půdy ( $R_A \approx 150 \Omega\text{m}$ ) vykazovat nízký  $R_A$  asi 1-2  $\Omega$ . Kritické jsou poměry u vysokoohmové písčité půdy. popř. lze pak ještě celé zařízení doplnit jedním nebo dvěma hlubokými zemniči.

Při střídavém napětí se uzemňovací odpor ztrácí. Kdo nemá možnost použít přístroj pro měření uzemnění, může použít měřicí zapojení zobrazené na obr. 4. I když odpovídá normě, je toto zapojení nebezpečné.

Střídavý proud vnějšího sítového vodiče je přes předřadný odpor přiveden do zkoušeného zemniče (!). Úbytek napětí se měří na  $R_A$  vně uzemňovacího napěťového trny.

S pomocí měřicího můstku lze uzemňovací odpor lehce zjistit, měří-li se mezi odděleným zemničem a zbyvajícím zařízením (vztažný zemníč). Odpory jednotlivých zemničů lze s pomocí můstku rovněž zjistit kompenzační metodou (pomočný zemníč a sonda).

## Koroze

Jako zemnič se v praxi dobře osvědčila žárově pozinkovaná ocelová pásovina s vrstvou zinku alespoň 70 µm. V našich půdách nedělá vlastní koroze zpravidla problémy. V půdách se specifickým uzemňovacím odporem > 10 Ωm vydrží podle zkušeností zinková vrstva asi dvacet let.

Kritická je koroze kontaktní. Při spojení zemničů z rozdílných materiálů může dojít k předčasnemu opotřebení zemničů.

Každý zemnič tvoří jednu elektrodu galvanického článku, jehož elektrolytem je vlhká půda. Při přímém spojení pak vlivem rozdílu napětí protéká spojem korozní proud. Ten je pak přesnou rozpuštění elektrody z méně ušlechtileho materiálu.

V našem případě nutno s kontaktní korozí počítat. Elektrodami "základového zemniče" (pozinkovaná ocel uložená v betonu) teče proud přes zemniči sběrnici k jednotlivým pozinkovaným ocelovým zemničům a přes zem zpět k základovému zemniči.

Tento stejnosemerný proud lze změřit. Přitom tvoří katoda (základový zemnič) kladný pól, anoda (jednotlivé pozinkované ocelové zemniče) pól záporný.

Naměřený proud 1 mA rozpustí ročně asi 10,7 g jednotlivého zemniče. Jelikož úbytek plochy jednotlivých zemničů je rovnocenný, není takový korozní proud ještě kritický.

Při vyšších hodnotách korozního proudu je třeba provést následující opatření:

- použít zemniči materiály se stejným potenciálem (např. dvoupláštové ocelové nebo měděné zemniče)
- připojení kritických zemničů přes jiskřiště (galvanické oddělení, přesto pro bleskový proud vodivé)

## Literatura:

- [1] DIN VDE 0185 díl 100/návrh 11.92 Protiblesková ochrana budov; Všeobecné základy (IEC 1024-1/1990 a IEC 81)
- [2] DIN VDE 0845 díl 1, 10.87, Ochrana sdělovacích zařízení před účinky blesku, statické nabíjení a přepětí ze silnoproudých zařízení
- [3] DIN EN 50083 díl 1, Klasifikace VDE 0855 díl 1, 3.94 Kabelové rozvodné systémy pro zvukové a TV/rozhlasové signály, bezpečnostní požadavky, odst.10.1 Ochrana anténních zařízení
- [4] DIN VDE 0185, díl 103/ Návrh 12/92 Ochrana proti elektromagnetickému bleskovému impulu (LEMP); díl 1 - Všeobecné základy
- [5] DIN VDE 0800 díl 2, 7.85: Sdělovací technika, zemnění a vyrovnání potenciálu
- [6] Trommer, Hampe: Protiblesková zařízení - plánování, stavba, zkoušky, nakladatelství Hüthig Buch, Heidelberg 1994
- [7] Panzer, P., DK3GK: Protiblesková ochrana radioamatérských zařízení, nakladatelství Karamanolis, 1983
- [8] Habiger a kol.: Příručka elektromagnetické kompatibility, nakladatelství Hüthig 1992, odst. 3
- [9] DIN 18014, Základové zemniče

\*\*\*\*\*

### Legenda k obrázkům

Obr.1: Vnější protibleskové ochranné zařízení amatérské radiostanice s protibleskovými ochrannými zónami

- B1: Protibleskové zařízení, kovový příhradový stožár
- B2: Protibleskové zařízení, budova
- B3: Protibleskové zařízení, pomocný stožár, nástavby a zemní anténní systémy

POZO: Protiblesková ochranná zóna 0, plné bleskové pole, vysoký bleskový proud

POZ1: Redukované bleskové pole

POZ2: Uvnitř přístrojových skříní, dále zredukované bleskové pole

KT: Kovová tělesa (např. dětská houpačka, kovový plot, potrubí na záhradě apod.)

Blitzkugel r=45 m : Blesková koule r=45 m

BSZ 0 : POZ 0

BSZ 0/E : POZ 0/E

BSZ 1 : POZ 1

BSZ 2 : POZ 2

ESS 1 : ZS 1

ESS 2 : ZS 2

MT : KT

U<sub>E</sub> : U<sub>Z</sub>

E-Einspeisung : přívod el. energie

Gas- u. Wasserltg. : plynové a vodovodní potrubí

ferne Erde. : vzdálená země

Obr.2: Vyrovňávací potenciálová síť amatérské radiostanice s obytným domem

B.....B: Bleskosvod

ESS1...ZS1: Zemnický sběrnice na patě stožáru

ESS2...ZS2: Zemnický sběrnice ve sklepě

F.....Č: Teplotní čidlo topného systému

FE....ZZ: Základový zemníč

G.....S: Kovová přístrojová skříň (uzemňovací svorka)

HAK....HDP: Hlavní domovní přívod, elektřina

HV....HR: Hlavní rozvaděč

L.....L: Délka svodu při přiblížení

PA1....VP1: Vyrovňávací potenciálová úroveň v ham-shacku

PA2....VP2: Vyrovnaný potenciál satelitního zařízení

PE....PE: Ochranný vodič

S.....BO: Bezpečnostní odstup

TC....TRX: Transceiver

Ü....SP: Svodič přepětí

UV....VR: Vedlejší rozvaděč

Z.....EM: Elektroměr

Mast : stožár

Segmente metallisch leitend : Spojení segmentů kovově vo-  
und blitzstromtragfähig divě a zatížitelné blesko-

|   |  |
|---|--|
| verbinden!  | vým proudem !                                    |
| B3 u.a. Erdungs-Anlagen                           | : B3 a další uzemňovací zařízení                 |
| Steuererder                                       | : Řídící zemníč                                  |
| Säustahlmatte                                     | : Stavební pletivo do betonu                     |
| Schutzrohr für Speise- und Steuerleitung          | : Ochranná trubka napájecího a ovládacího vedení |
| Wasser, Heizung                                   | : Voda, topení                                   |
| L1,2,3,N u. PE                                    | : L1,2,3,N a PE                                  |
| Stahltreppenkonstruktion                          | : Kovová konstrukce schodišť                     |
| lösbare Verbindungen                              | : Rozebiratelná spojení                          |
| Schellenanschluß                                  | : Připojení objímkou                             |
| Isolierstück                                      | : Izolační díl                                   |
| Wasser:   | : Voda   |
| Gas-Innenlitg.                                    | : Vnitřní plynové vedení                         |
| Heizung   | : Topení   |
| Vorw. u. Rücklitg.                                | : Přívodní a zpětné vedení                       |
| E-Einspeisung                                     | : Přívod el. energie                             |
| TN-Netz: L1,L2,L3,PEN oder<br>TT-Netz: L1,L2,L3,N | : Sít' L1,L2,L3,PEN nebo<br>sít' L1,L2,L3,N      |

Obr.3: Stupňovitá přepěťová ochrana všech aktivních vodičů amateršké radiostanice  
(Pramen: Dehnovy publikace, rozšířeno)

|                                |                                     |
|--------------------------------|-------------------------------------|
| Elt-Zuführung über Freileitung | : Přívod elektřiny vzdušným vedením |
| Elt-Zuführung über Kabel       | : Přívod elektřiny kabelem          |
| Hauptverteilung                | : Hlavní rozvaděč                   |
| Zähler                         | : Elektroměr                        |
| Leitungslängen                 | : Délky vedení                      |
| Netzteil                       | : Síťová část                       |
| Tcvi/TV-RX u.a.                | : TRX/TVP aj.                       |
| BSZO oder 0/E                  | : POZO nebo 0/E                     |

|  |   |   |
|--|---|---|
| Überspannungskategorie gem.  | : | Přepěťová kategorie podle<br>DIN VDE 0110                               |
| Isolationsniveau (Stehstoß- spannung)  | : | Izolační úroveň (průrazné napětí)                                       |
| zum Antennensystem   | : | K anténnímu systému   |
| Potentialausgleichsschiene im Shack  | : | Potenciálová vyrovnávací sběrnice v ham-shacku                          |
| Blitzstromableiter Anforderungsklasse:<br>A - für Freileitung<br>B - für Kabel | : | Bleskosvod požadované třídy:<br>A - pro vzdušné vedení<br>B - pro kabel |
| Einsatzbeisp. (Fa Dehn u.a.)   | : | Např. (fa Dehn aj.)   |
| Überspannungsableiter Anforderungsklasse nach DIN VDE 0675 Teil 6              | : | Svodič přepětí požadované třídy dle DIN VDE 0675 díl 6                  |
| GeräteüberspannungsfILTER  | : | Přístrojový přepěťový filtr   |
| geräteinterne Schutzschaltungen  | : | Vnitřní přístrojová ochranná zapojení                                   |
| Netzfilter, RC-LC-Kombinationen, $\pi$ -Glieder u.a.                           | : | Sítový filtr, RC-LC-filtr, $\pi$ -články aj.                            |
| ÜGK in HF-Steckverbinder   | : | ÜGK(??? - výklad nejasný) ve vf-konektoru                               |

Obr.4: Měření rozšířeného zemního odporu  $R_A$  proudově-napěťovou metodou

|   |   |   |
|---|---|---|
| Netz                                      | : | $SFT$   |
| $I_{mea}$                                 | : | $I_{max}$   |
| $U_{mea}$                                 | : | $U_{max}$   |
| Erder von ESS abgetrennt !                | : | Zemnič odpojen od ZS !                              |
| Erdspieß oder Rohr = 30 cm eingetrieben ! | : | Zaražená zemničí tyč nebo trubka délky min. 30 cm ! |

Obr.5: Měření rozšířeného zemního odporu  $R_A$  pomocí měřicího můstku proti vztažnému zemniči "ostatní zařízení s ochranným vodičem"

|                                   |   |                                     |
|-----------------------------------|---|-------------------------------------|
| Erdungsmeßbrücke (z.B. Geohm)     | : | Měřicí můstek (např. Geohm)         |
| Einzel-Erder von ESS abgetrennt ! | : | Jednotlivé zemniče odpojeny od ZS ! |
| PE-Leiter                         | : | PE-vodič                            |

Tab.1: Škodlivé rušivé veličiny (podle [8], rozšířeno)

Nárůst napětí

Velký úbytek napětí na rozšířeném zemním odporu, dosahující 5(nejčastěji) až 120 kV při bleskových proudech od 5 do 120 kA, vytváří nebezpečné krokové napětí (viz levý obrázek)

LEMP (lightning electromagnetic pulse) z nárůstu bleskového proudu

Dosahuje 20(nejčastěji) až 120 kA/ $\mu$ s; tím se v instalačních smyčkách indukuje impulsní napětí  $u_i = 40$  V až 150 kV (podle jejich indukčnosti), viz pravý obrázek.

Náboj blesku

Dosahuje 2(nejčastěji) až 300 As, způsobuje roztažení kvových dříuí v místě zásahu (300 As udělá dříu v 5 mm silném hliníku), viz levý dolní obrázek.

Specifická energie blesku

Dosahuje 0.04(nejčastěji) až 4 MJ/ $\Omega$ , způsobuje chřev vodičů při průchodu bleskového proudu (energie 10 MJ/ $\Omega$  taví měděné vodiče 10 mm<sup>2</sup>, hliníkové vodiče 16 mm<sup>2</sup> nebo železné vodiče 25 mm<sup>2</sup>), viz pravý dolní obrázek.

Fangspitze

: Hrot jímače

Blech

: Plech

Bleskové přepětí na vodičích

Přepětí vlivem bleskových vln při vzdálených úderech dosahuje až několika kV.

Přepětí vlivem SEMP (switching electromagnetic pulse)

Přepětí při spínacích dějích v sítí, až 10 kV/ $\mu$ s.

Přepětí vlivem ESD (electrostatic discharge)

Influenční (??? - výklad nejasný) náboj na izolovaných antennních systémech, tělesný náboj (několik kV).

Tab.2: Parametry protibleskové ochrany B u budov (obr.1)

Ochranná třída dle IEC [1]

III (pro obytné domy a jiné stavby)

Druh zařízení

Trojrozměrné, zařízení uzemnění jen na úrovni terénu.

Bezpečnostní odstup BO (viz obr. 2)

BO ≥ 0,044 L pro pevné izolanty  
BO ≥ 0,022 L pro vzduch

(L: délka svodiče v metrech mezi místem přiblížení a nejbližší vyrovnávací potenciálovou úrovní)

Poloměr bleskové koule r

45 m

Účinnost zařízení

0,9

Sítová vzdálenost jímacích vodičů

≤ 10 m x 10 m

Počet svodičů

Min. 1 svodič na každých 10 až 20 m obvodu budovy.

Uzemňovací zařízení, možné varianty

Základový zemnič, samostatné zemniče nebo kruhový zemnič.

Vyrovnání potenciálu protibleskové ochrany

- hlavní vyrovnání potenciálu, rozšířené
- stupňovitá přepěťová ochrana
- propojení všech dílčích uzemňovacích zařízení do sítě
- řídící zemnič

Tab.3: Minimální rozměry vodičů protibleskové ochrany dle [3]

| Dél zařízení    | Matér-<br>rial<br>(masiv) | Prů-<br>řez<br>[mm <sup>2</sup> ] | ø popř.<br>síla(*)<br>[mm] |
|-----------------|---------------------------|-----------------------------------|----------------------------|
| Jímací zařízení | Cu                        | 35                                | 6,7                        |
|                 | Al                        | 70                                | 9,5                        |
|                 | Fe                        | 50                                | 8,0                        |
|                 | Cu-pleck                  |                                   | 5,0*                       |
|                 | Al-pleck                  |                                   | 7,0*                       |
|                 | ocel.pleck<br>pozink.     |                                   | 4,0*                       |
| Svodiče         | Cu                        | 16                                | 4,5                        |
|                 | Al                        | 25                                | 5,7                        |
|                 | ocel poz.                 | 50                                | 8,0                        |
| Zemniče         | Cu                        | 50                                |                            |
|                 | ocel poz.                 | 80                                |                            |

|   |  |    |     |
|---|--|----|-----|
| Vodiče pro vyrovnání potenciálu protiblesk. ochrany pro bleskové proudy       | Cu   | 16 | 4,5 |
|   | Al   | 25 | 5,7 |
|   | ocel poz.  | 50 | 8,0 |
| Vodiče pro vyrovnání potenciálu protiblesk. ochrany pro dříčí bleskové proudy | Cu   | 6  | 2,8 |
|   | Al   | 10 | 3,6 |
|   | ocel poz.  | 16 |     |
| Uzemňovací vodiče bleskosvodů a svodidů přepětí                               | -Dopržovat pokyny výrobce a montážní návod!                                  |    |     |
|   | -Krátké a bezimpedančně vést na nejbližší potenciálovou vyrovnávací sběrnici |    |     |

Podle Funkamateur 3/96 volně přeložil OK2PLK.

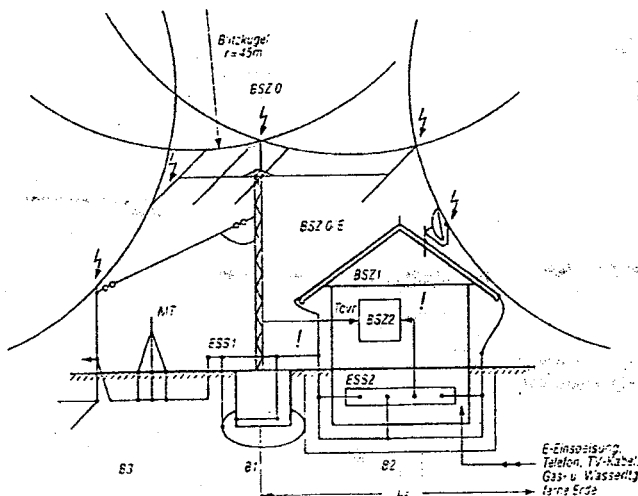


Bild 1: Äußere Blitzschutzanlage einer Amateurfunkstation mit Blitzschutzzonen

- B1: Blitzschutzanlage, Gebäude
- B2: Blitzschutzanlage, Metallgittermast
- B3: Blitzschutzanlage, Abspannmast, Aufbauten und erdfähige Antennensysteme

BSZ0: Blitzschutzzone 0, volles Blitzfeld, hoher Blitzstrom

BSZ1: reduziertes Blitzfeld

BSZ2: innerhalb eines Geräteschirms, weiter reduziertes Blitzfeld

MT: Metallische Teile (z. B. Kinderschaukelgerüst, Metallzaun, Rohrleitung im Garten u.a.)

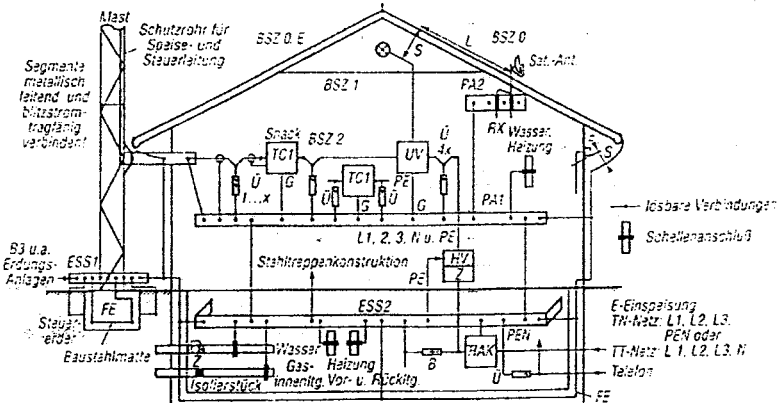


Bild 2: Potentialausgleichsnetzwerk einer Amateurfunkstation mit Wohnhaus

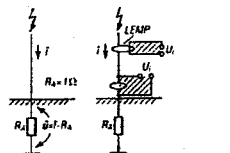
B: Blitzstromableiter  
 ESS1: Erdungssammelschiene am Mastfuß  
 ESS2: Erdungssammelschiene im Keller  
 F: Fühler für Heizungsanlage  
 FE: Fundamenteder  
 G: metallisches Gerätegehäuse (Erdanschluß)  
 HAK: Hauptanschlußkasten, Elektrizität

HV: Hauptverteilung  
 L: Ableiterlänge bei Näherung  
 PA1: Potentialausgleichsebene im Shack  
 PA2: Potentialausgleich, Sat-Anlage  
 PE: Schutzleiter  
 S: Sicherheitsabstand  
 TC: Transceiver  
 Ü: Überspannungsableiter  
 UV: Unterverteilung  
 Z: Zählerplatz  
 s.o. lösbare Verbindungen  
 s.o. Schellenanschluß

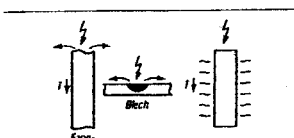
Tabelle 1: Schadigende Störgrößen (nach [8], erweitert)

**Spannungsanhebung**  
 Hoher Spannungsabfall am Erdausbreitungs-widerstand, erreicht 5<sup>th</sup> bis 120 kV bei Blitzströmen von 5 bis 120 kA, erzeugt gefährliche Schrittspannung. Skizze links

**LEMP (lightning electromagnetic pulse) aus Blitzstromanstieg**  
 Erreicht 20<sup>th</sup> bis 120 kV/μs; dadurch werden hohe Impulsspannungen in Installations-schleifen induziert, je nach Induktivität  $u_i = 40 \text{ V bis } 150 \text{ kV}$ . Skizze rechts



**Spezifische Blitzenergie**  
 Erreicht 0,04<sup>th</sup> bis 4 MJ/Ω, führt zur Aufheizung von Leitern bei Blitzdurchgang (Energien um 10 MJ/Ω schmelzen Cu-Leiter von 10 mm<sup>2</sup>; Al-Leiter von 16 mm<sup>2</sup> oder St.-Leiter von 25 mm<sup>2</sup>). Skizze rechts unten



**Blitz-Uberspannung auf Leitungen**  
 Überspannung durch Blitzwanderwellen bei Ferneinschlägen, erreicht einige Kilovolt

**Überspannung durch SEMP (switching electromagnetic pulse)**  
 Überspannung durch Schaltungen im Netz, bis zu 10 kV/μs

**Überspannung durch ESD (electrostatic discharge)**  
 Influenz-Ladungen auf isolierten Antennen-systemen. Personenaufladung, einige Kilovolt  
 \* dieser Wert ist am häufigsten

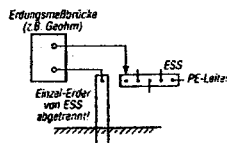
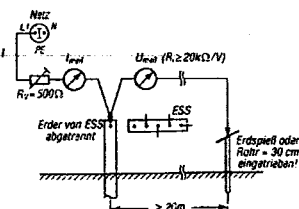
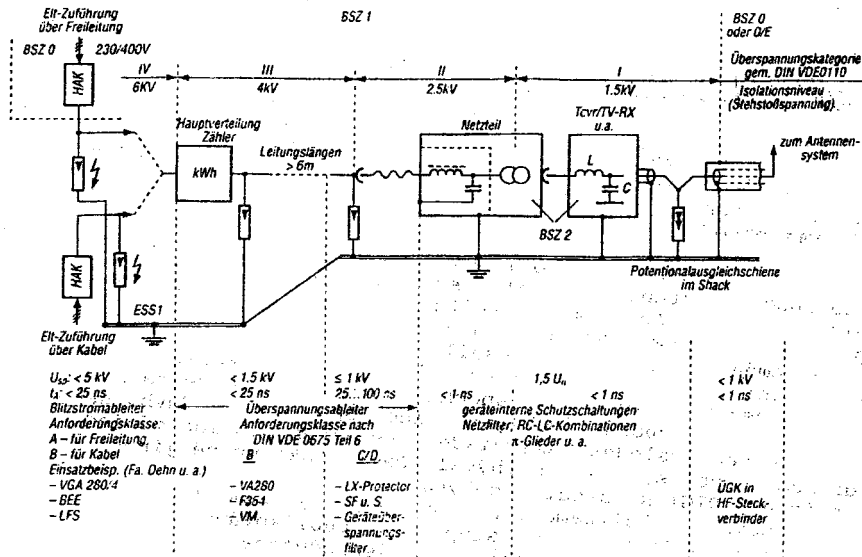


Bild 4: Messung des Erdausbreitungs-widerstandes  $R_A$  nach dem Strom/Spannungs-Verfahren

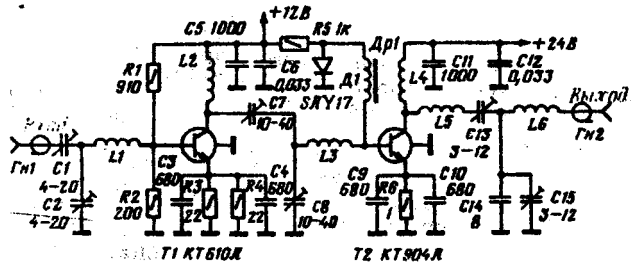
Bild 5: Messung des Erdausbreitungs-widerstandes  $R_A$  mittels Erdungsmäß-brücke gegen den Bezugserder „Übrige Anlage mit Schutzleiter“



**Bild 3: Gestaffelter Überspannungsschutz aller aktiven Leiter einer Amateurfunkstation**  
 (Quelle: Dehn-Publikationen, erweitert)

Lineárny zosilňovač výkonu na 144 MHz. (radio 7/76)

|                           |          |                      |
|---------------------------|----------|----------------------|
| Počty závitov cievok: L 1 | 4,5 záv. | dĺžka vinutia 6,5 mm |
| L 2                       | 9,5      | 13,5                 |
| L 3                       | 1,5      | 3                    |
| L 4                       | 9        | 6,5                  |
| L 5                       | 3        | 14                   |
| L 6                       | 4        | 6,5                  |



Pavel Jamernegg  
OM3WBM

## Jednoduchá digitální stupnice - měřič kmitočtu. ( OKIDLY )

Při stavbě nového transceivru jsem usoudil, že by nebylo špatné vybavit zařízení digitální stupnicí. TTL obvody se sezenou za korunovou hodnotu a tak s chutí do toho. Předem podotýkám, že s logickými obvody jsem postavil maximálně klíč IK-3 a to tak, že jsem až chorobně pečlivě okopíroval návod. Tím byly veškeré mé znalosti o TTL vyčerpány. Prolistoval jsem starší čísla AR a méně oku zalahodila stupnice podle AR 5/77 od OK2BHV. Původně se jednalo o zjednodušený měřič kmitočtu převzatý ze zahraničního časopisu. Opět jsem chorobně pečlivě navrhl a vytvořil plošné spoje a neméně pečlivě je osadil. S vidinou zářícího displeje jsem se pustil do oživování. Když jsem se po několika večerech laborování nedobral kůženého úspěchu, obrátil jsem se na několik přátel v tomto oboru záběhlých, leč opět marně. Chyba nebyla nalezena, ovšem výsledek zase nikde. Byl jsem posílán od jednoho ke druhému, občas, jak přibýval čas, také úplně jinam. Sen o transceivru s DIGI se začal rozplývat.

Následovalo několikaměsíční období, kdy jsem hltal vše, co snad kdy bylo o digitálních stupnicích publikováno. Začal jsem zjišťovat, že popsaná stupnice je zjednodušena tak, že vzorek vyrobený podle AR je pouze souborem zapojených součástek. Autor promine, ale je to tak. V daném zapojení úplně chybí propojení vývodů 12 a 1 čítače, rovněž chybí jakákoli zmínka o impulzním napojení displeje, stupnice nemá paměť pro přepis z čítače. Vstup se možná nechá oživit v případě, že chceme měřit kmitočet oscilátoru o úrovni 5V a více. Pro měření nízkých úrovní je nepoužitelný. Následovalo období ve kterém jsem opět laboroval. Výsledkem je stupnice, kterou předkládám. V závěrečné podobě jsem ji postavil celkem čtyřikrát, vždy bez komplikací. Případným zájemcům ale doporučujidržet postup stavby a oživování.

Stavbu začneme výrobou desek s plošnými spoji. Postupu je víc, já používám tento: desku očistím, odmastím a nastříkám barvou ve spreji. Po zaschnutí do barvy vyryji dělicí čáry rýsovací jehlou - kousek svářecího drátu zbrošený do špičky. Vyleptám v roztoku kyseliny solné a peroxydu vodíku, myji v acetolu, vyvrtám otvory a natřu roztokem kalafuny. Desky jsou na obr.2 a 3, desku pro displej si musí navrhnut každý sám podle použitych segmentů.

Osazování začneme oscilátorem. Použitý krystal má kmitočet 10MHz a malé rozměry. Za 20,-Kč ho obratem zašle AGB elektro v Rožnově pod Radhoštěm. Trimrem v bázi T1 nastavíme největší úroveň kmitů pomocí VF sondy. Trimrem 30pF nastavíme přesně 10MHz pomocí čítače nebo přijímatce s kalibrátorem, např. R4.

Máme-li oživen oscilátor, osadíme první děličku I01 a pomocí VF sondy zjistíme na vývodu 12, zda funguje. Obdobně osazujeme další děličky I02 až I05. Po osazení I04 a I05 už sonda zřejmě neukáže žádné vf napětí, ale její funkci zjistíme pomocí sluchátek přes kapacitu M1 a zem. Na vývodu 12 I04 uslyšíme 1KHz a na vývodu 12 I05 uslyšíme 100Hz. Není-li signál přítomen, je chyba v přecházejících stupních - vadný IO nebo chyba při montáži. Dále osadíme I06 a I07. Pomocí sluchátek zkонтrolujeme zda I06 překlápi na vývodech 9, 10 a 11 opět 100Hz, ale jinak zabarvených, totéž na vývodech 3, 4, 5, 6. 100Hz uslyšíme na vývodu 6 I07, ale na vývodu 3 pravděpodobně neuslyšíme nic. Osadíme tranzistor T3 a do jeho emitoru zapojíme proti zemi LED přes odpor 150 ohmů. Pokud dioda svítí je vše v pořádku.

Osadíme vstupní obvod tranzistoru T4 a sluchátka opět připojíme na vývod 6 I07. Opět uslyšíme 100Hz, při dotyku prstem

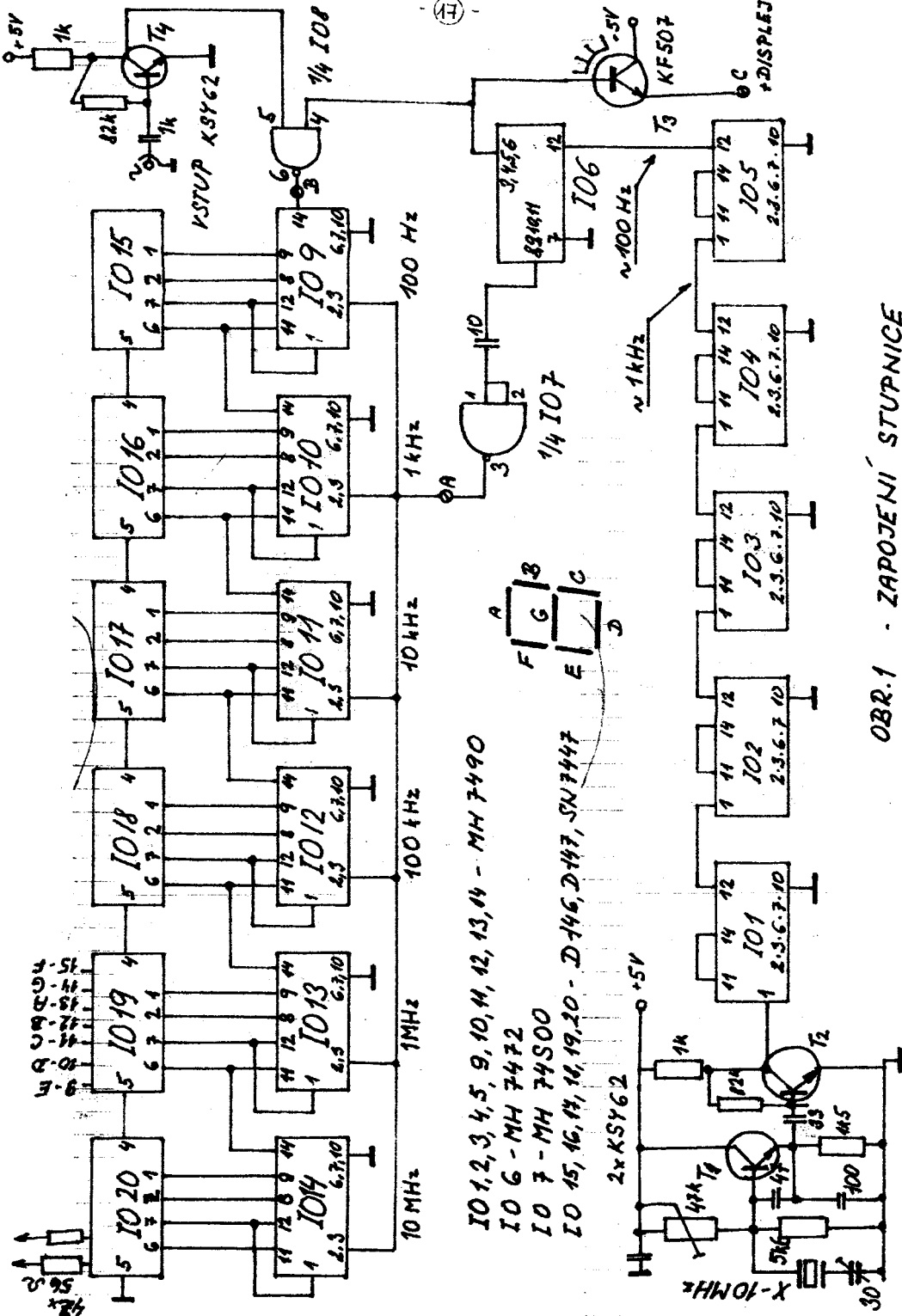
na vstupu uslyšíme mezi 100Hz patrný šum. Pokud se tak stalo, je řídicí jednotka oživena.

Osadíme desku displeje a jako poslední osadíme desku čítačů. Nejdříve propojíme vývody 7-1, 8-2 a 9-1 vždy u dvojic IO14-IO20, IO13-IO19 atd. a to ze strany součástek isolovaným drátem. Potom zapojíme jednotlivé obvody. Vývody 2 a 3 u IO9 až IO14 propojíme drátem ze strany spojů a připojíme do bodu A. Celou desku připojíme k desce displeje, viz obr. 4 a jednotlivé segmenty propojíme pomocí odporu 56 ohmů a výstupy IO15 až IO19 viz obr. 1 IO19 a 20. Obdobně propojíme i ostatní obvody. Prozatím nepropojujeme vývody převodníků IO15 až IO20. Napájení displeje propojíme s napájením 5V, po připojení svítí na displeji řada nul. Pokud se na některém displeji objeví něco jiného, většinou je chyba v propojení mezi displejem a převodníkem. Pokud svítí nuly, připojíme kus drátu do bodu B - vstup čítače a bod A zkrátujeme se zemí. Drátem připojeným do bodu B se dotýkáme kostry, na displeji se objeví číslo, které dalším dotýkáním vrustá. Číslo zpravidla narůstá po několika a ne po jednom, to je způsobeno zákmity při dotecku. Pokud je vše v pořádku, přerušíme zkrat mezi bodem A a zemí a na displeji se opět zobrazí řada nul. Propojíme vývody 4 a 5 převodníků a vývod 5 u IO20 uzemníme, nuly zhasnou a nesvítí nic. Tím je deska čítačů oživena.

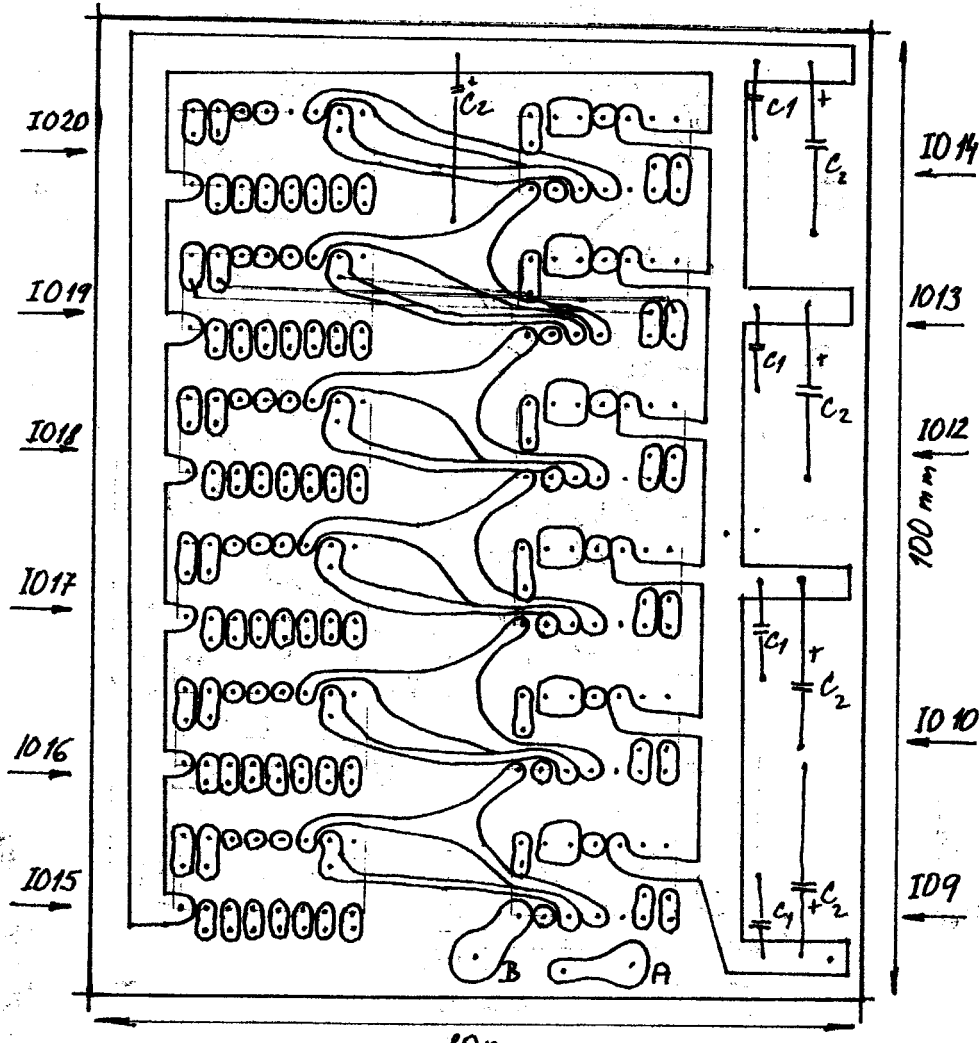
Propojíme obě desky napájení, bod A a A, bod B a B, napájení displeje připojíme do bodu C - emitor C3. Zapneme napájení a dotkneme se vstupu - zobrazí se chaotická změť čísel, v klidu nesmí displej svítit. Kontrolu celé stupnice provedeme pomocí krystalového oscilátoru jehož kmitočet známe. Celou stupnici obalíme plechem, vstup připojíme pomocí koaxiálního kabelu přes kapacitu cca 6pF a více, záleží na velikosti měřeného napětí. Rovněž napájení doporučují provést stíněným vodičem a napájecí napětí důsledně blokovat. Při důkladném stínění a blokování stupnice nevyzařovala i když byla umístěna v těsné blízkosti vstupu přijímače.

Několik poznámek: vzhledem k použitým obvodům se stupnice jeví jako poněkud zastaralá, ale vzhledem k cenám obvodů jsou její pořizovací náklady velice nízké, asi necelých 200,-Kč. Při dodržení postupu ji zcela jistě zvládne i začátečník. Lze ji postavit jako samostatný přístroj pro měření kmitočtu v hamshacku nebo vestavět do zařízení. Pokud napojíme TRX z baterií na QTH/P, lze zařízení doplnit vypínačem, které ji prostě vypne. Pokud by někomu stačilo pouze měření na jednotky kHz, nemusí osazovat IO15, pokud někomu postačí zobrazit pouze jednotky desítky a stovky kHz, neosadí IO13, 14, 19 a 20. Chceme-li měřit desítky Hz, lze místo krystalu 10MHz osadit 1MHz, nebo do řady děliček IO1 až IO5 v rádiit ještě jednu, ale v tom případě se měření posune o jeden rád. Pro zobrazení desítek MHz bude nutno přidat další stupně - IO čítače a převodníku a stupnice bude blikat desetkrát za vteřinu. Podle zapojení které jsem uvedl, provádí stupnice sto měření za vteřinu, tudíž změna na displeji je okamžitá a blikání displeje není patrné.

Spotřeba stupnice je si 4W, což při odběru ze zdroje 5V představuje 800mA. Ale navzdory všem nevýhodám, které TTL obvody mají si myslím, že rozhodně tato stupnice najde uplatnění u řady OM's.



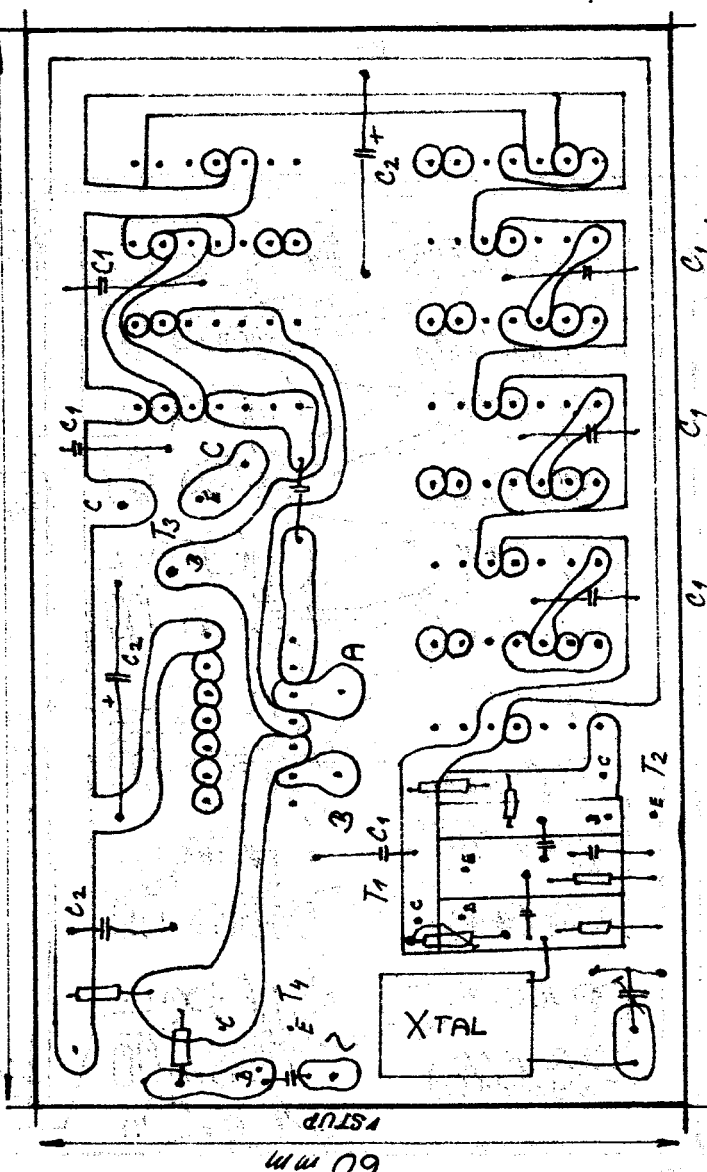
OBR. 1 - ZAPJOJEKU' STUPNICE



OBR. 3 - DESKA ČÍTACÍ

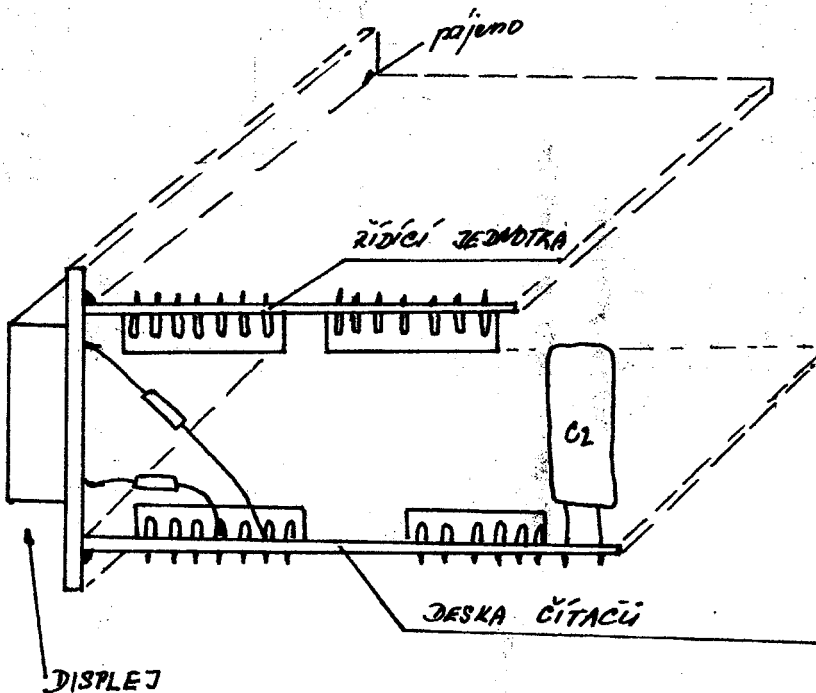
$C_1 = 684$   
 $C_2 = 200\text{nF}/C_1$

105 | 100mm 106 |  
107 |



101 | 102 | 103 | 104 |  
 $c_1$   $c_1$   $c_1$   $c_1$

OBR. 2 - ŘÍDÍCÍ JEDNOTKA



OBR. 4 - MECHANICKÁ SESTAVA

( DL5MA, CQ-DL 2/92 )

C1-3 = 0.22  $\mu$ F / 63 V  
 C5-9 = 100600F / 25 V  
 C10-11 = 2200 pF / 25 V

D1, 2 = BYS 28/45

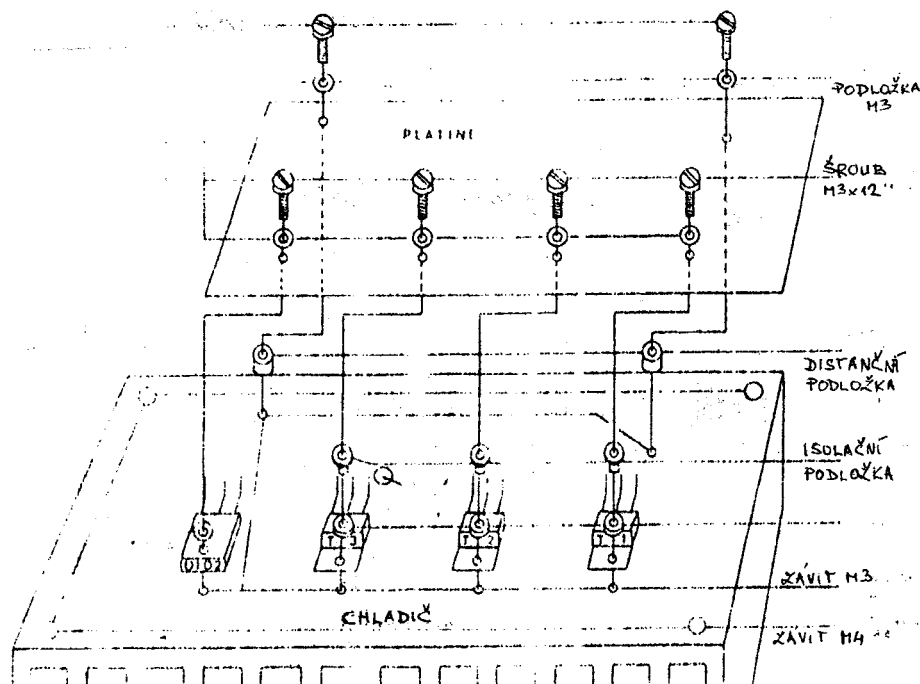
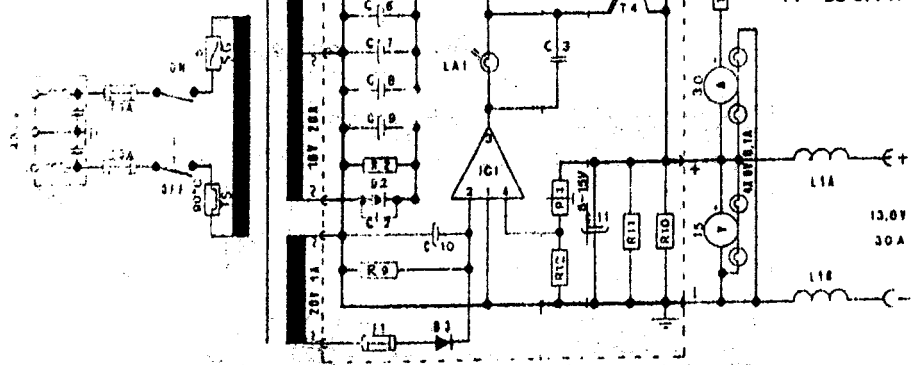
D3 = 1N4001

F1 = T1A

LA1 = 24 V / 35 mA

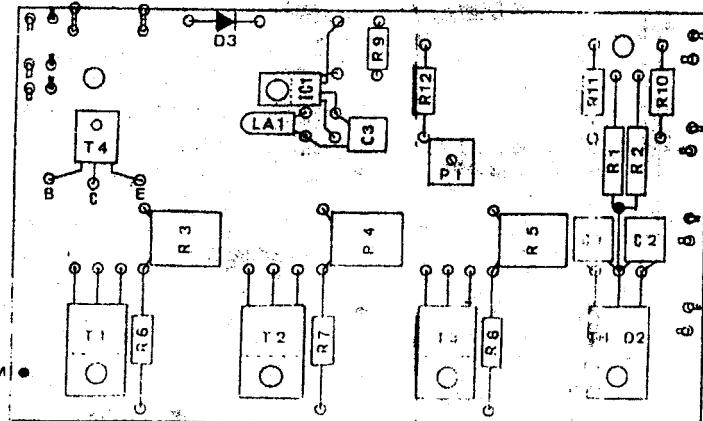
PS-102 A

IC1 = UA 78 G  
 P1 = 10 K / 0.5 W  
 R1, 2 = 390 / 2 W  
 R3-5 = 0.1 / 5 W  
 R6-8 = 150 / 0.5 W  
 R9-11 = 1 k / 0.5 W  
 R12 = 4K7 / 0.5 W  
 T1-3 = BDV 67 B  
 T4 = BD 677 A

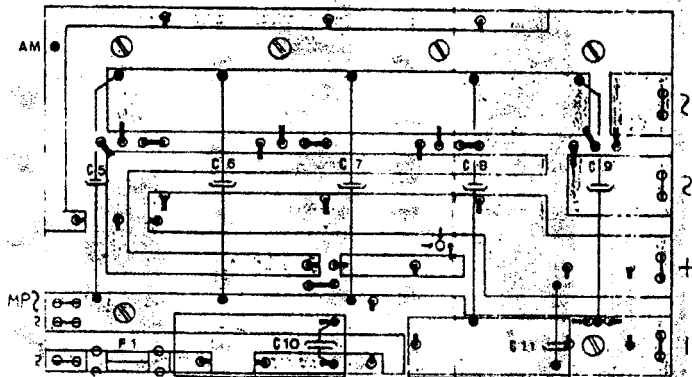


ROZMÍSTĚNÍ SOUČÁSTÍ NA CHLADIČI

ZDROJ 12V/20A



: ROZMÍSTĚNÍ SOUČÁSTÍ (STRANA SOUČÁSTEK)



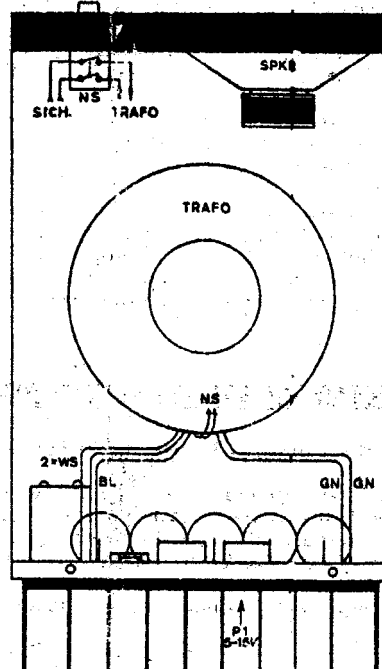
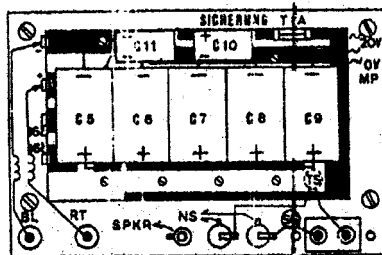
ROZMÍSTĚNÍ SOUČÁSTEK (STRANA SPOJŮ)

- 23 -

DESKA PLOŠNÝCH SPOJŮ

PS 102 A OTTL 020591

ROZMÍSTĚNÍ SOUČÁSTÍ NA  
DESCE PL. SPOJŮ A CHLADIČI



ROZMÍSTĚNÍ VE SKŘÍNI

## QRP VYSILÁČ "BLECHA". (OK1DLY)

Když jsem se na jaře popral v lese s klištětem, které vyhrálo, byl jsem po propuštění z nemocnice odsouzen k mnohatýdennímu pobytu doma. Měl jsem tudíž dost času povolit uzdu své konstruktérské tvofivosti. Výsledkem byl tento minivysílač, který má překvapivě vlastnosti při jednoduchosti zapojení, malé rozměry, relativně velký výkon, který se pohybuje od 850 mW na 160m do 400mW na 20m pásmu. Díky kapacitnímu děliči je tón stabilní.

Schema je na obr. 1, plošný spoj na obr. 2. Jako napájecí zdroj je použito miniaturní trafo 220/24V typ TR2 2VA, které má příkon cca 2W a právě tak postačuje k napájení celého vysílače. Po usměrnění se na filtrační kapacitě 4000MF, poskládané z kondenzátorů 500MF objeví asi napětí asi 35V, které je pro oscilátor stabilizováno obvodem MA 7812 nebo 7815, (kovový typ) plastové stabilizátory nedávají dobré výsledky.

Tranzistory T3 a T4 je dobré opatřit chladičem. Udaje o laděných obvodech jsou v tabulce, na vyšších pásmech jsem vysílat nezkoušel. Celkem je postaven do krabičky z plastu o rozměrech 12x12x5cm, jako ladící kondenzátor byl použit kovový typ ze starého radia s převodem na hřídelem 1:3. Na krabičce jsou pouze dva ovládací prvky: knoflík ladění a přepínač příjem-vysílání. Při přepnutí na vysílání je v nezakličovaném stavu vysílač ve funkci "tiché ladění". Na zadní straně krabičky jsou tři konektory- antena, přijímač a klíč.

Přizpůsobení antény je provedeno počtem závitů L4 navinuté na L3. Počet závitů se určí přidáváním či ubíráním jejich počtu na největší proud tekoucí do antény. Počet závitů se pohybuje od 1,5 do 4.

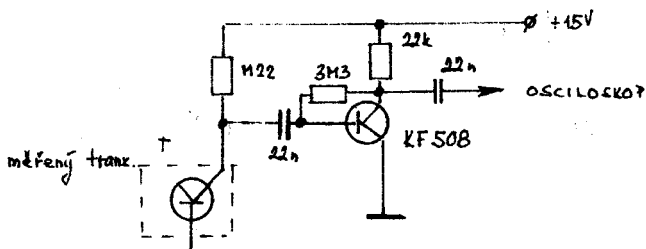
S timto vysílačem jsem navázal radu spojení. Přijímač jsem používal R4 vyjma 14 MHz, kde jsem používal jednoduchý audion podle OK1JSI popsány v OQI č. 18. Reporty 599 nebyly výjimkou, většinou jsem ale dostával 559 nebo 569. Všem, kteří to s BLECHOU zkusi přejí hodně zábavy a pěkných spojení.

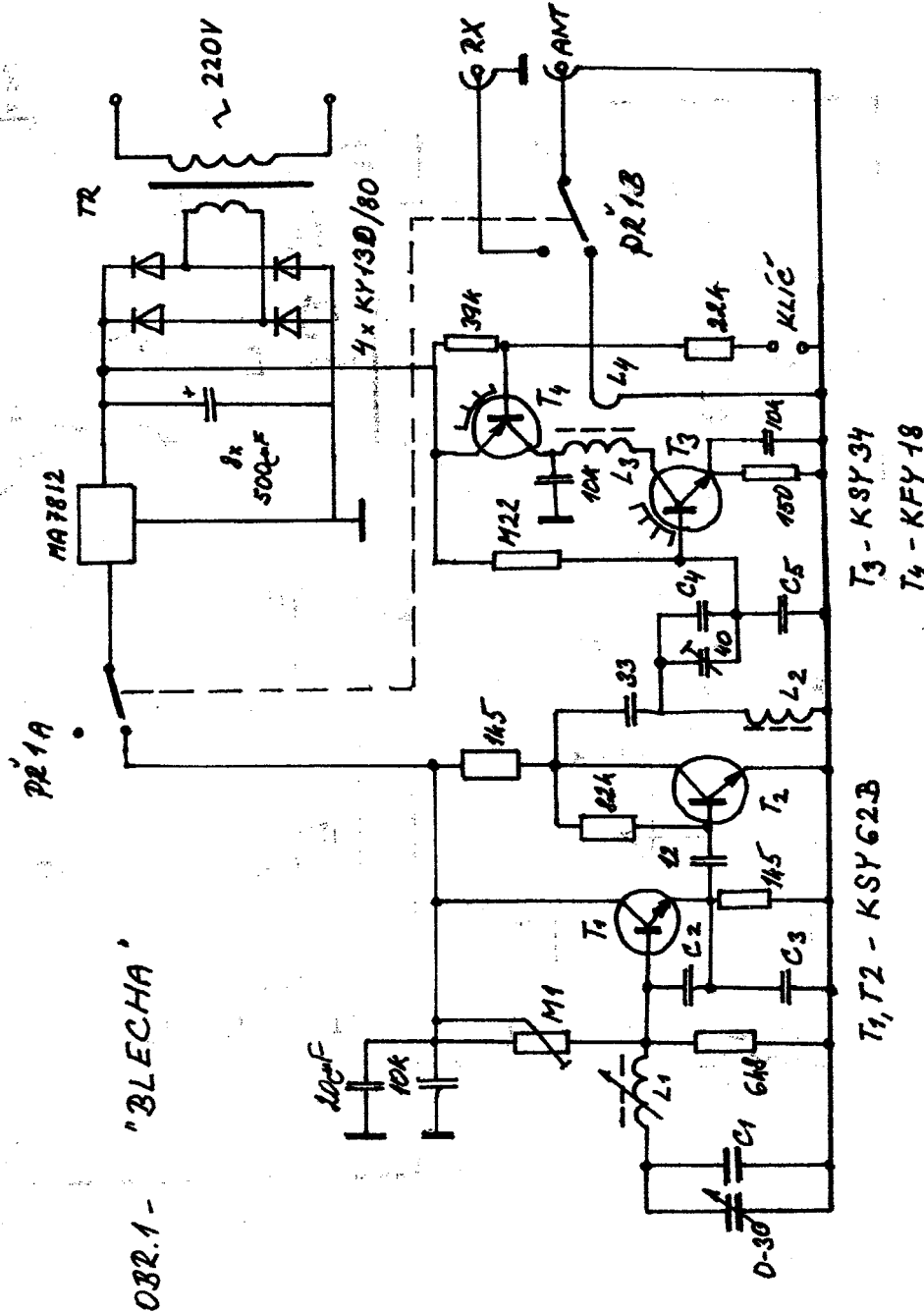
## HODNOCENÍ KVALITY TRANZISTORU

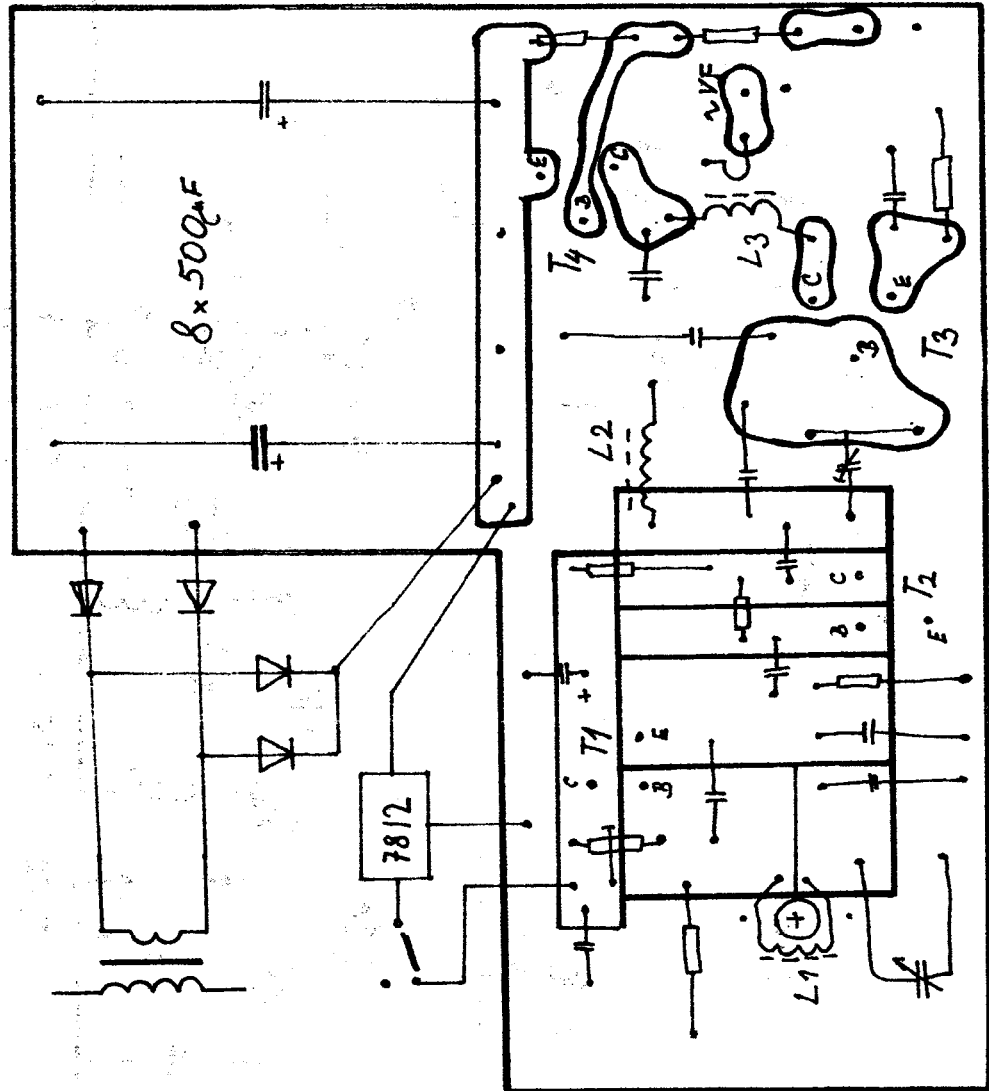
(Samuel Híc, Slovenská televize )

V profesionální praxi se často vyskytne potřeba rychle přebrat více kusů tranzistorů, hlavně pokud se týká kvality šumu.

Doporučuji pro takový rychlý výběr používat přípravek, který nám prostřednictvím osciloskopu umožní vidět v plném rozsahu šum "nasazený" na sinusovce zobrazené obrazovkou. Čím je sinusovka čistější, tím je šum hodnoceného tranzistoru menší.







032.2. - 'BLECHA'

TAB. - CÁLCULO DE PLACAS

| PASMO<br>MHz | $C_1$<br>Silica<br>styroflex | $C_2$<br>Silica<br>styroflex | $C_3$<br>Silica<br>styroflex | $C_4$<br>Silica<br>styroflex | $C_5$<br>Keramita<br>ceramita | L1 - chapa de<br>Keramita & 5mm<br>de espesor | L2<br>tensión<br>de 10 mm<br>de espesor | L3<br>chapa de<br>ceramita, juntas<br>& 10mm<br>de espesor |
|--------------|------------------------------|------------------------------|------------------------------|------------------------------|-------------------------------|---|---|--|
| 1.8          | 100 pt                       | 142                          | 145                          | 100 pt                       | 242                           | 120 actividad<br>lineal en el sistema         | N/A                                     | 10 actividad<br>lineal                                     |
| 3.5          | 102 pt                       | 600 pt                       | 800 pt                       | 100 pt                       | 242                           | 65 actividad<br>lineal                        | N/A                                     | 6 actividad<br>lineal                                      |
| 4            | 120 pt                       | 440 pt                       | 500 pt                       | 100 pt                       | 145                           | 35 actividad<br>lineal                        | N 05 actividad<br>lineal                | 6 actividad<br>lineal                                      |
| 10.1         | 120 pt                       | 440 pt                       | 500 pt                       | 75                           | 560 pt                        | 30 actividad<br>lineal                        | N 05 actividad<br>lineal                | 5 actividad<br>lineal                                      |
| 14           | 100 pt                       | 330 pt                       | 390 pt                       | 18 pt                        | 560 pt                        | 22 actividad<br>lineal                        | N 05 actividad<br>lineal                | 4 actividad<br>lineal                                      |

## NÍZKOFREKVENČNÍ TELEGRAFní FILTR

(Rádiožurnál SZR 4/95, OM3CKU)

### Popis zapojení

Filtr je určen pro zařízení, jejichž selektivita nevyhovuje pro telegrafní provoz a je uvažované s jeho připojením na výstup zařízení pro sluchátka. Též výstup filtru je uvažovaný pro sluchátka. Zapojení využívá dva operační zesilovače typu 741. Napájení je ze zdroje 9-20V, odber je kolem 30mA. Oba stupně jsou prakticky totožné v klasickém zapojení pásmové propusti. Umělá zem je vytvořena odpory R7 a R8, ve schématu označená jako trojúhelník postavený na vrchol, aby byla odlišená od minus napájení, který zároveň tvoří zem celého filtru vzhledem na okolí.

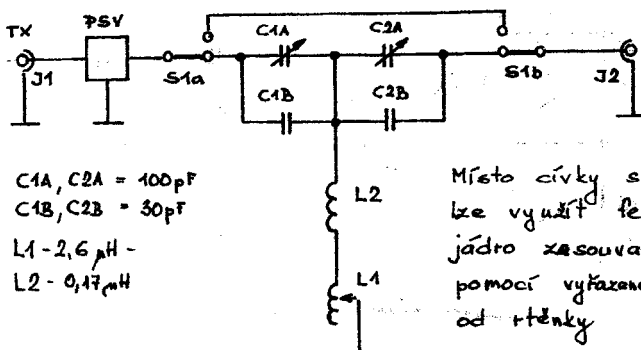
### Konstrukce

Odpory jsou miniaturní, kondenzátory C2, C3, C6, C7 jsou styroflexové, ostatní libovolné, elektrolyty na napětí 25V. Odpory R7 a R8 by se neměli lišit o více než 5%. Šířku pásma filtru je možné měnit odpory R3 a R6. Jejich zvětšováním se zmenší šířka pásma a naopak. Pro rychlosti nad 80zn/min, předpokládáme-li používání obou stupňů je vhodné snížit jejich hodnoty na 82k. Chceme-li zároveň používat i nižší střední frekvenci bude nutné zvětšit hodnoty trimrů R2 a R5 na 4k7, případně až 6k8. Při výrazném rozdílu zisku je možné tento korigovat změnou R4. Platí nepřímá závislost - zvětšením odporu klesá zisk. Mechanicky je filtr řešený na jednostranné desce plošných spojů.

### Nastavování

Při nastavování je vhodné použít nf generátor a nf milivoltmetr. Nastavování začínáme od prvního stupně na maximum výstupního signálu pomocí R2. Potom podobně nastavíme druhý stupeň. Doporučuji nastavovat na stejnou frekvenci jako je kmitočet příposlechu v zařízení jinak hrozí nebezpečí, že při použití obou stupňů nebude slyšet vlastní vysílání, protože se dostaneme mimo propustné pásmo filtru.

## ANTENNÍ TUNER K6BSU      ( QRPP 3/96 )



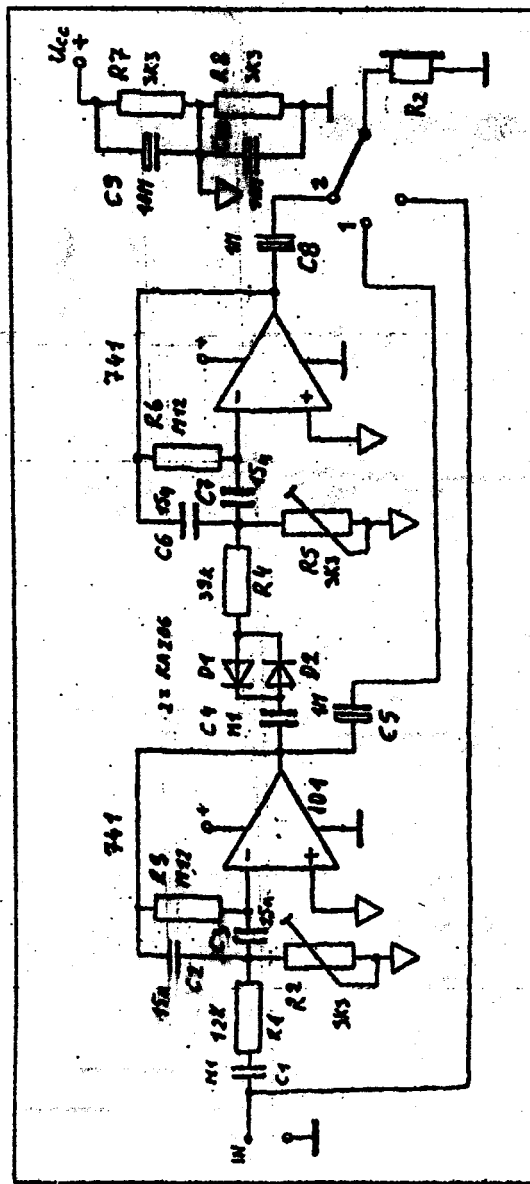
$$C1A, C2A = 100 \text{ pF}$$
$$C1B, C2B = 30 \text{ pF}$$

$$L2 - 2,6 \mu\text{H}$$

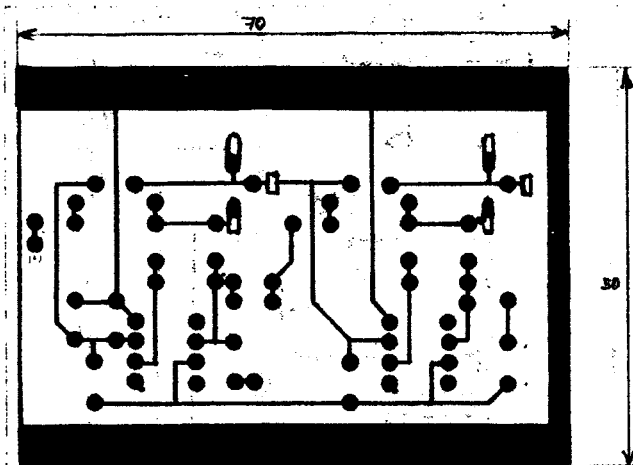
$$L4 - 0,17 \mu\text{H}$$

Místo cívky s běžcem  
lze využít feritové  
 jádro zasouvané do cívky  
 pomocí vytaženého pouzdra  
 od tlénky

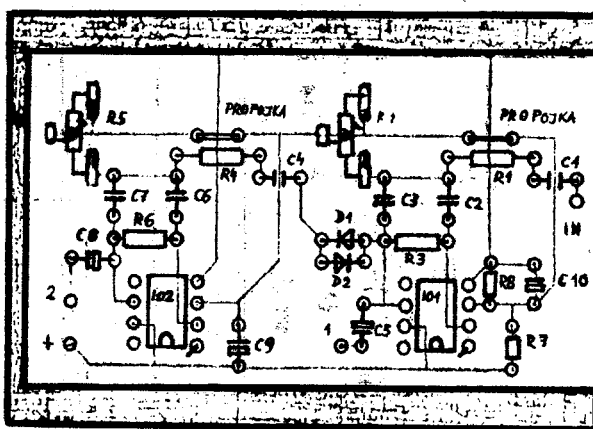
NF CW FILTER



## STRANA SPOJŮ

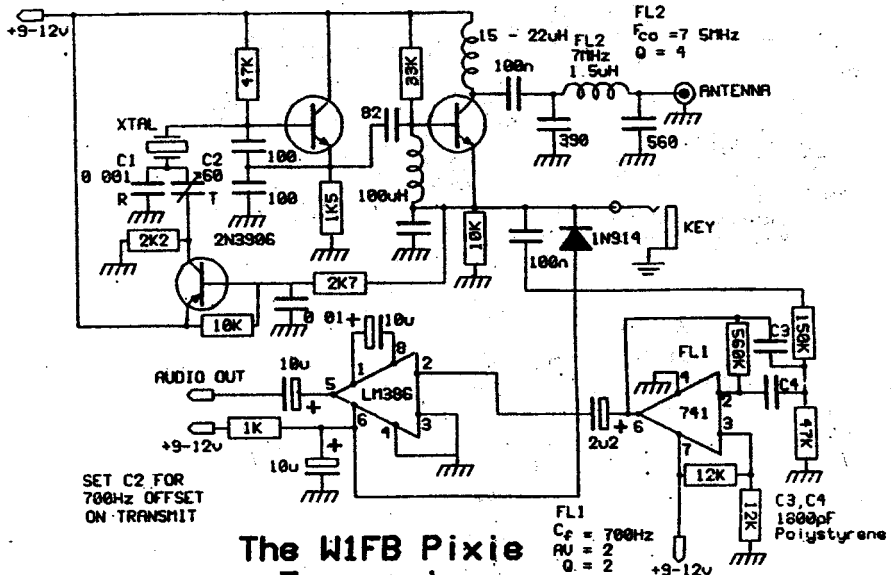


## STRANA SOUČÁSTÍ

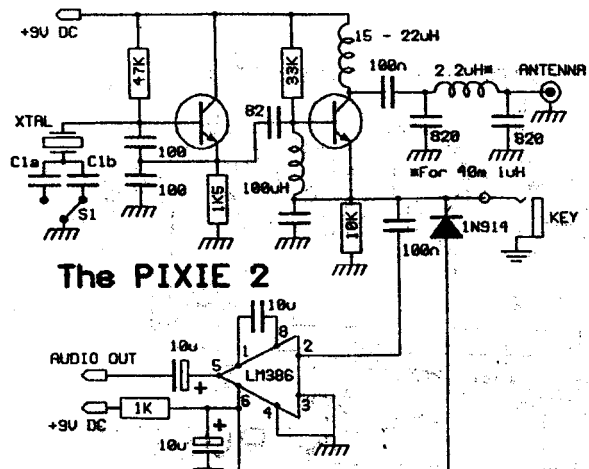


## VERZE TRANSCEIVRU PIXIE

( SPRAT 88, SPRAT 89 )

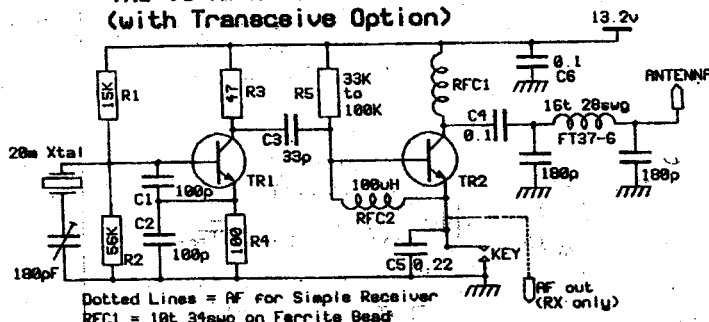


The W1FB Pixie  
Transceiver

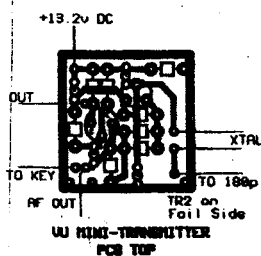
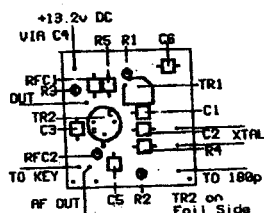
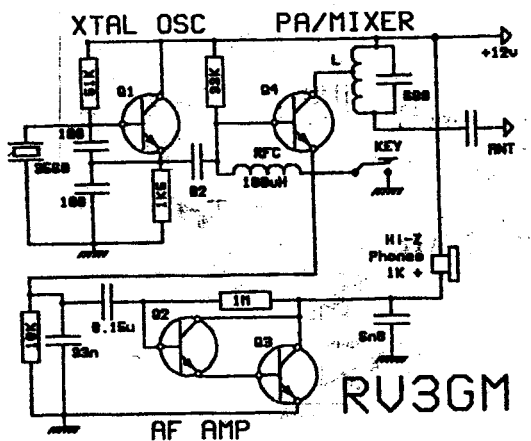
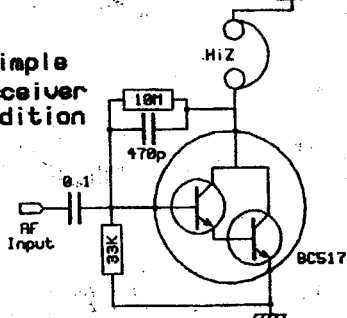


The PIXIE 2

The VU Mini-Transmitter  
(with Transceive Option)



Simple  
Receiver  
Addition



## MF ZESILOVÁČ S TCA400 (A244D)

( Rádiožurnál 1/96, OM3ZZ )

Při použití tohoto IO V MF části dosáhneme výborné parametry jak při příjmu, tak i při vysílání. Např. vstupní část zpracuje VF signál s úrovní až 2V, samozřejmě při zapnutém AVC. Ale vyrobit dobré AVC pro tento IO je skoro neřešitelný problém.

Rozsah regulace je okolo 70dB, což je předností tohoto IO. Při přivedení napětí 0,3V na pin 9, dostaneme velmi kvalitní omezovač amplitudy, což oceníme při soutěžích SSB, které mají kategorii QRP.

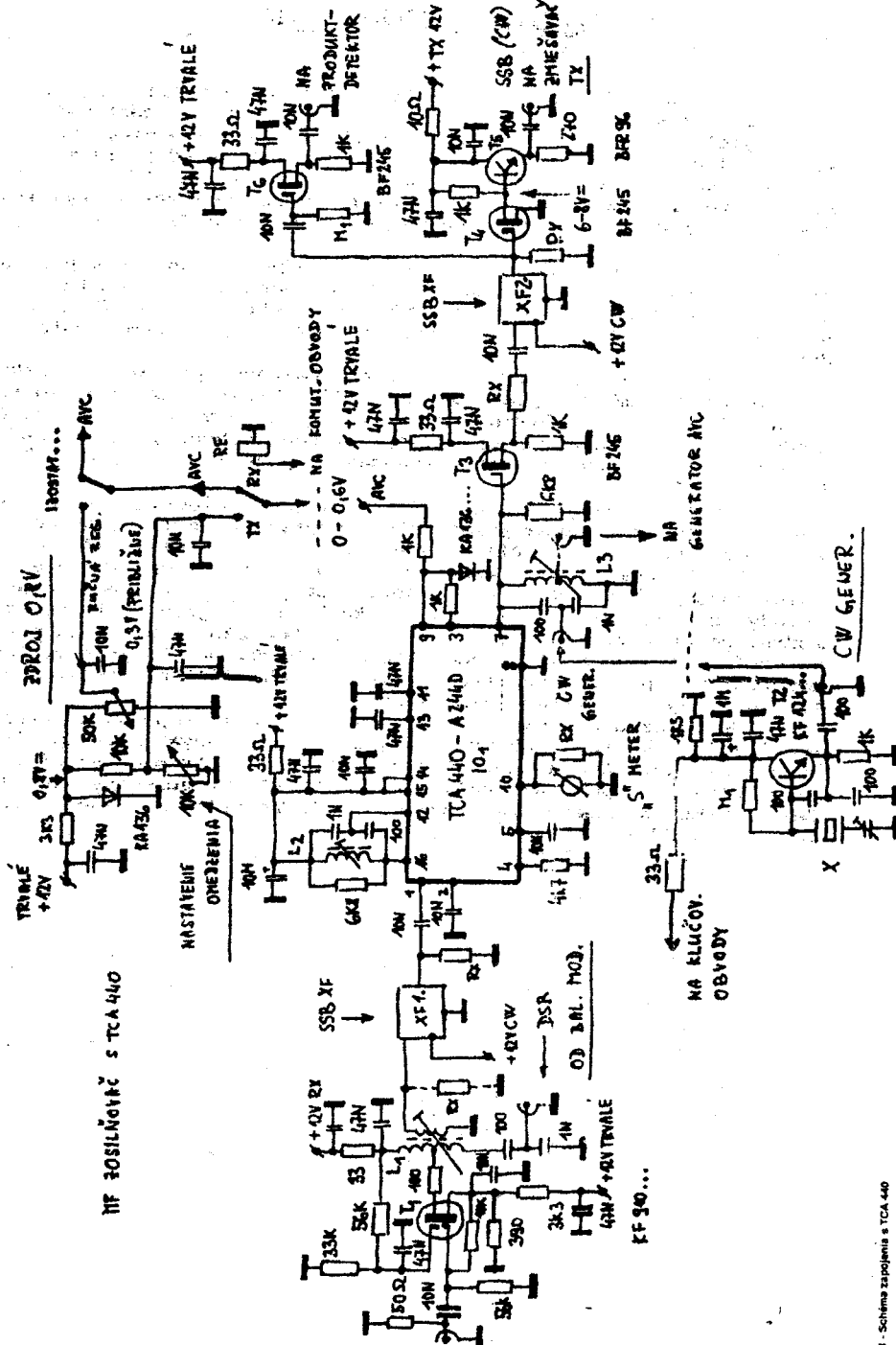
Zatlumíme-li laděné obvody L2, L3 odporem 6k8, odpadnou nám problémy s kmitáním MF na vyšších kmitočtech a na nastavování nebudeme potřebovat speciální měřící přístroje. Zisk IO neutrpí podstatnou újmu (-6dB). Po zapojení podle obr.1. nám zůstává k dobru +100dB.

Výrobce udává pro tento IO mezní kmitočet pro MF část 2MHz, ale bez problémů lze používat až 12MHz. Nízké šumové číslo nám zaručí VF část IO, kterou použijeme jako první MF zesilovač. Druhou část IO navážeme na L2 přes nízkou odbočku, čím se sníží ovlivňování LC obvodu změnou impedance pinu 12 v závislosti od AVC.

Kritické piny jsou 3 a 9. Ošetříme je Si diodami. Při pájení nesmí být IO na žádném potenciálu, protože napětí vyšší než 2V zničí uvedené piny. Napětí 0,5V na pinu 3 a 9 úplně uzavře IO.

TCA440 nemá žádné záludnosti. Na obr.1 jsou zobrazené i další obvody, které doporučuji požít tak jak je vyznačeno. Laděné obvody jsou na běžných 5mm kostičkách, jádra jsou z feritu N05 modré, počet závitů 25, drát o 0,25mm. Odbočka na L3 je na pátém až osmém závitu od studeného konce. Odbočky na L1 jsou zvolené kompromisně podle použitých krystalových filtrů, resp. podle jejich vstupní / výstupní impedance.

Odpory označené Rx jsou tedy použité podle impedance filtrů. Zesilovače, které rozbočují signál za druhým filtrem jsou mechanicky umístěné na destičce společně s filtrem a tvoří s RX jeho zátěž. V podstatě celý MF zesilovač je umístěný na jedné desce, mimo CW generátoru a zdroje 0,8V. Ve filtroch jsou použity krystaly z RM31.



Obr. 1 - Schéma 7: potentiál s TCA 440

## PŘEPINATELNÝ KRYSTALOVÝ FILTR SSB/CW

( Rádiožurnál 2/96, OM3ZZ )

Pro MF zesilovač s IO TCA440 jsem vyrobil tento CW-SSB filtr. Problematika přepínání je znázorněná na obr.1. Myšlenka vychází z běžného zapojení příčkového filtru SSB, který se změní přidáním kapacit na CW filtr. Základem je měření krystalů z RM31, řady B000 až B900. Bylo zjištěno, že pro šířku SSB=2,1kHz vychází

kapacita C1=33pF a zatěžovací impedance 1kohm.

Pro přepínatelný CW/SSB filtr z krystalů RM31 jsem vyzkoušel uvedené zapojení, kde jsem si zvolil pro CW libovolnou  $C_0$ , která se potom vynásobí koeficientem pro 6-ti krystalový filtr. Tak dostaneme praktické hodnoty kondenzátorů, které pomocí spinacích diod budeme připinat ke kondenzátorům vypočítaným pro SSB filtr. Samozřejmě zatěžovací impedance CW filtru je nižší než filtru SSB. To nás ale nemusí trápit a jako zatěžovací odpor použijeme 1,5 kiloohmu. Tím se nám změní strmost hran a filtr nebude zvonit, což oceníme v 48-hodinových contestech.

Kapacita  $C_0$  pro výpočet CW filtru při použití krystalů RM31 by neměla být vyšší než 200pF. Výběr krystalů by měl být s přesností na 150Hz. Krystaly s vyšší frekvencí elektricky umístíme do středu filtru. Přesné měření filtru lze provést osciloskopem VCXO a vf sondou.

Zjištění střední frekvence SSB filtru je jednoduché. Nosné frekvence (LSB,USB) nastavíme 300Hz pod a nad filtr. K tomuto nepotřebujeme žádné speciální přístroje. Filtr namontujeme do RXU a při vypnutém AVC přeladujeme nosnou některé rozhlasové stanice, za současného přepínání oscilátorů nosné LSB i USB a jejich nastavení na zázněj, který bude začínat od 300Hz (pro filtr se šířkou 2,1kHz od 400Hz).

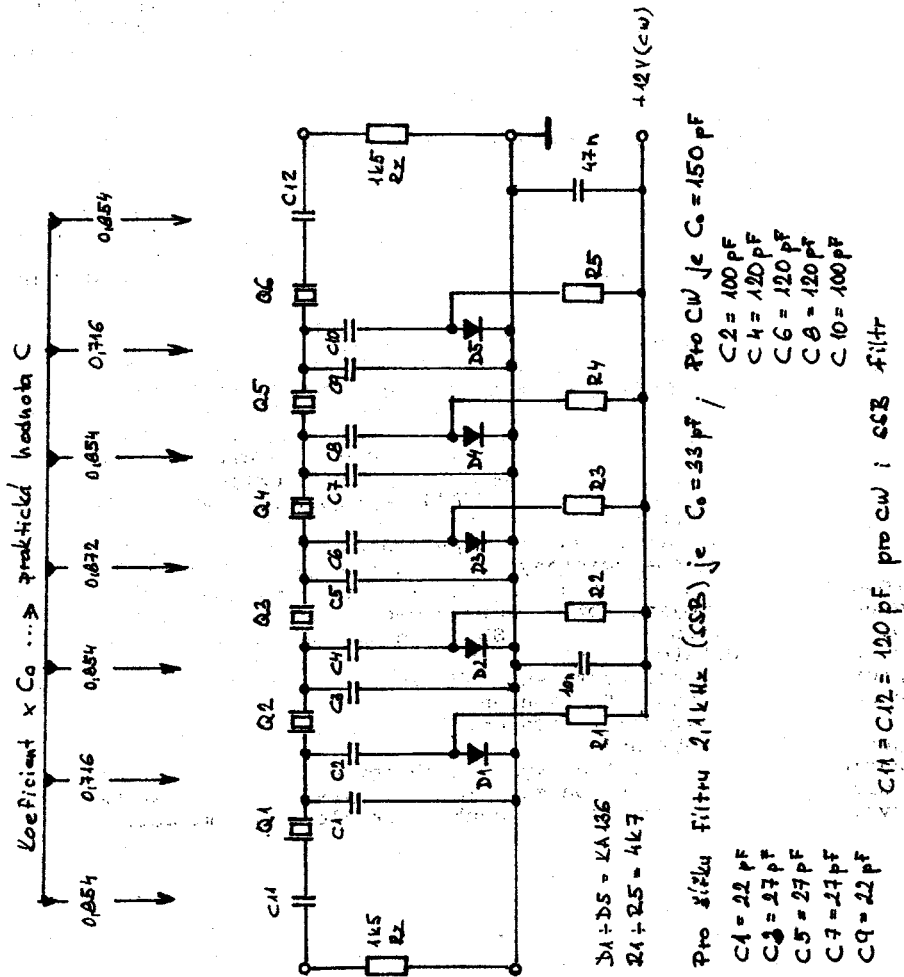
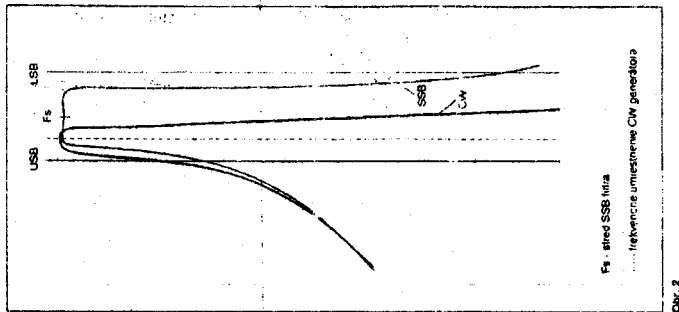
Potom čítačem změříme frekvenci oscilátorů nosné a dostaneme tyto hodnoty LSB = 8,25140MHz

$$USB = 8,24860MHz$$

$$LSB + USB = 16,5 : 2 = 8,250MHz$$

Takže střední kmitočet filtru je pro SSB 8250kHz. Přesný střed CW filtru budeme zjišťovat pomocí CW generátoru, který pro tento účel připojíme na L1, (viz schema MF zesilovače s TCA440) tak, abychom potenciometrem mohli měnit úroveň signálu na vstupu do MF zesilovače. Doladovacím trimrem budeme měnit kmitočet za současného měření čítačem. Jako indikátor použijeme běžný měřicí přístroj, připojený na pin 10 TCA440 (přepnutý na měření proudu), AVC musí být zapnuté.

Uvedená zjištění využijeme při nastavení CW generátoru, tak aby byl frekvenčně umístěn v propustné části obou filtrů, bez rozdílu na druh provozu. Prakticky budeme postupovat tak, že generátor připojíme přes potenciometr na L1 a za současného přepínání filtru z CW na SSB doladíme generátor na maximální výchylku indikátoru. Při tomto postupujeme zvlášť opatrně, protože od přesného nastavení CW generátoru bude záviset kvalita našeho QRP provozu. Po skončení nastavování připojíme generátor na L3. Krystalový filtr zařazený XF2, zařazený v cestě signálu CW generátoru, zabraňuje vzniku kliksů a zabraňuje vyšším harmonickým postupovat do vysílacích obvodů. Při příjmu tento XF2 snižuje šumovou šířku pásma, čímž se zvyšuje citlivost RXU. Při vysílání na SSB odstraňuje produkty vzniklé při limitaci.



## NOVÝ QRP TCVR . (OKIDEC)

Ve sborníku QRP Chrudim 1993 byl uveden transceiver pro všechna pásmá, vycházející z koncepce Datei. Po zkoušenostech se stavbou tétoho transceivru jsem se rozhodl pro zcela nový typ, který by splňoval tyto body:

1. Rozměr stejný jako u předešlých transceivru
2. Odolný proti velkým vstupním signálům
3. Dobrá citlivost RXu
4. Malý šum
5. Dobrá stabilita VFO
6. Pásmo 10MHz případně ještě další
7. Výkon do 1W

### Přijímací část.

Na vstupu transceivru je Cohnův filtr, který zaručuje velké potlačení signálů mimo propustné pásmo. Tento filtr je pomocí relátek přepínán při vysílání mezi směšovač a lineár.

Za vstupním filtrem následuje vyvážený směšovač s výkonovými fety KP903. Tento typ směšovače se vyznačuje nízkým šumem a velkou odolností proti silným signálům. Signál 1V VF vzdálený 5kHz od přijímaného signálu neovlivní a nezablokuje RX. Vstup a výstup směšovače je přizpůsoben impedančními transformátory, které jsou navinuty na dvoutvorovém jádru. Směšovač má větší klidový proud, fety jsou párovány.

Za vyváženým směšovačem je 6-ti krystalový příčkový filtr na kmitočtu 8750kHz. Šířka pásmá filtru je 1kHz. MF zesilovač je převzatý z Otavy a je osazen tranzistory BF173, které mají malou průchozí kapacitu. Jednotlivé stupně jsou vázány MF transformátory. Z poslední MF je přes kapacitu odebírán signál pro AVC a S-metr, který ale není zapojen. Z poslední MF je přes vazební vinutí přiváděn signál do 3 krystalového filtru do produktodetektoru, který je osazen dvojitým tranzistorem KC510. Použitím druhého krystalového filtru se potlačí šum MF zesilovače.

BFO je použité stejně jako u Datla. Z PD je přes vyhlažovací indukčnost veden NF signál do NF zesilovače s IO MBA810. Na výstup zesilovače jsou připojena sluchátka 5 ohmů.

VFO je typ SWAN, které jsem popsal ve sborníku a zaručuje dobrou stabilitu. Ladící kondenzátor jsem použil z RF11 a je rozdělený na 5 dílů. (Je možné jej rozdělit i na 6) Tím dosahují při použití MF 8750kHz 6 pásem. Za oddělovacím stupněm VFO je napětí 300-400mV pro výkonový zesilovač. Výkonový zesilovač VFO je osazen tranzistorem KSY34, který dodává do směšovače potřebné VF napětí. Toto napětí na S tranzistoru KP903 je 1,8-1,9V VF a odporu 50ohmů.

### Vysílací část.

Signál pro vysílání vzniká ve směšovači TX osazeném dvěma tranzistory KSY71. Sem je přiváděn signál z VFO a CW oscilátoru. CW oscilátor je klíčován. Výsledný signál je filtrován přes Cohnův filtr a veden na lineární zesilovač, který je stejný jako u Datla. Za PA jsou pí-články stejně jako u Datla. Výkon PA je 0,5-1W. Funkce příjem-vysílání přepínají 3ks relé QN59925. Při vysílání je odpojeno napájecí napětí 12V pro směšovač RX, výkonový zesilovač VFO a MF zesilovač. Při příjemu je odpojeno napájecí napětí 12V od směšovače TX a CW oscilátoru. Pro

odposlech při klíčování je přiveden "signál" přes malou kapacitu z CW oscilátoru na vstup 3-xtalového filtru. Ve vysílací části ještě uvažuji o zařazení oddělovacího stupně mezi VFO a směšovač TX. Další oddělovací stupeň bude nutný mezi CW oscilátor a směšovač TX. Rovněž uvažuji o jiném zapojení Cw oscilátoru.

#### Měření zařízení.

Po dokončení zařízení a asi měsíčním pozorování jsem proměřil přijímací část.

RX - rozsah 14MHz.

Sum = plné zesílení celého zařízení = 1,5mV NF/5ohmů  
+3dB nad šumem = 2,1mV NF = -140dB/75 ohmů (š.p. 1kHz)

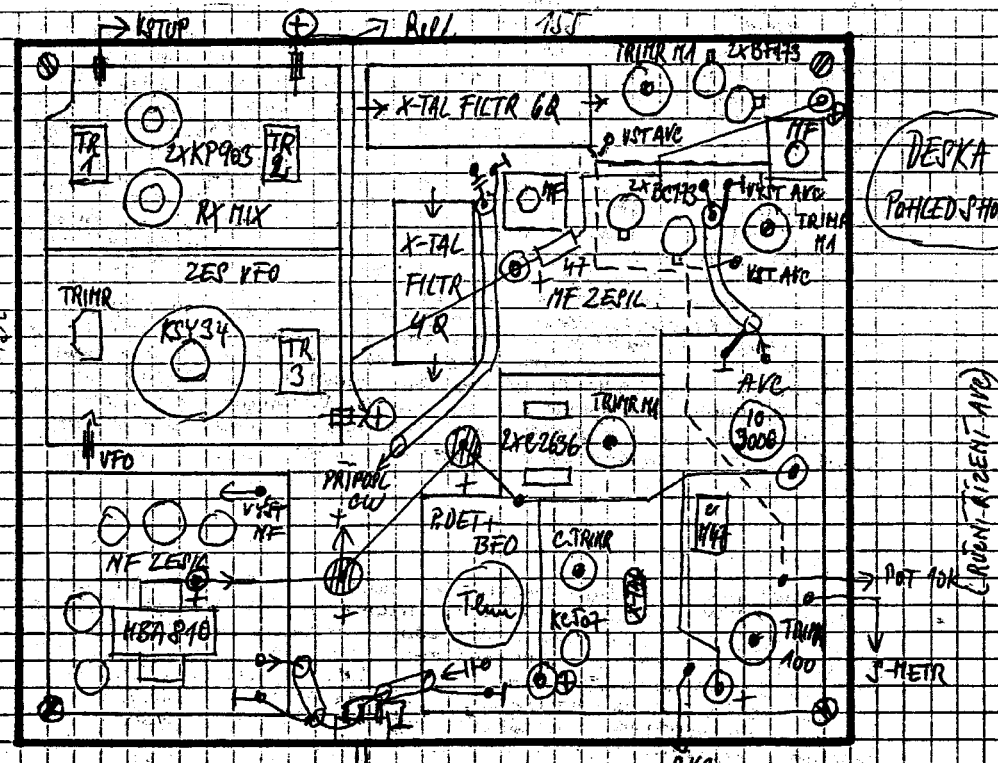
(vstupní šumový výkon na vstupu RX)

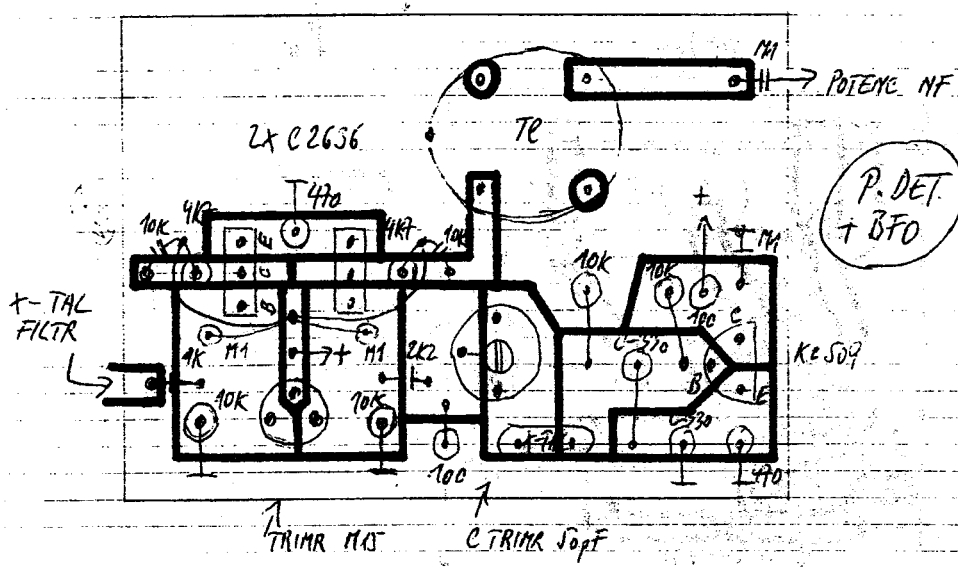
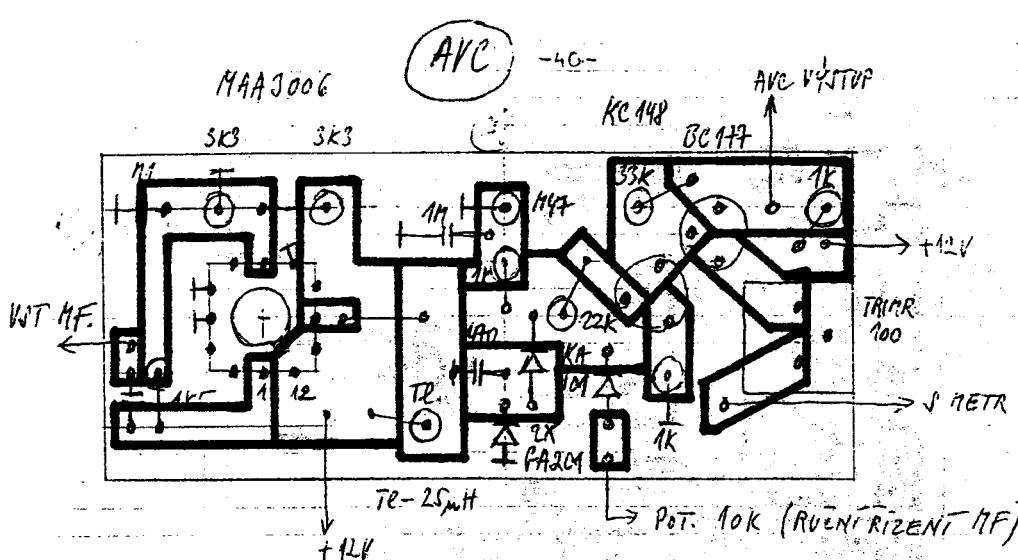
Mezní citlivost RX = 0,055uV/75ohmů

Citlivost RX + 10dB nad šumem = 0,17uV/75ohmů (š.p. 1kHz)

#### Použité měřicí přístroje:

1. VF generátor G4-151
2. NF milivoltmetr Tesla BM384
3. VF milivoltmetr RaS BN 10913 se sondou
4. Cítač PFL-28A





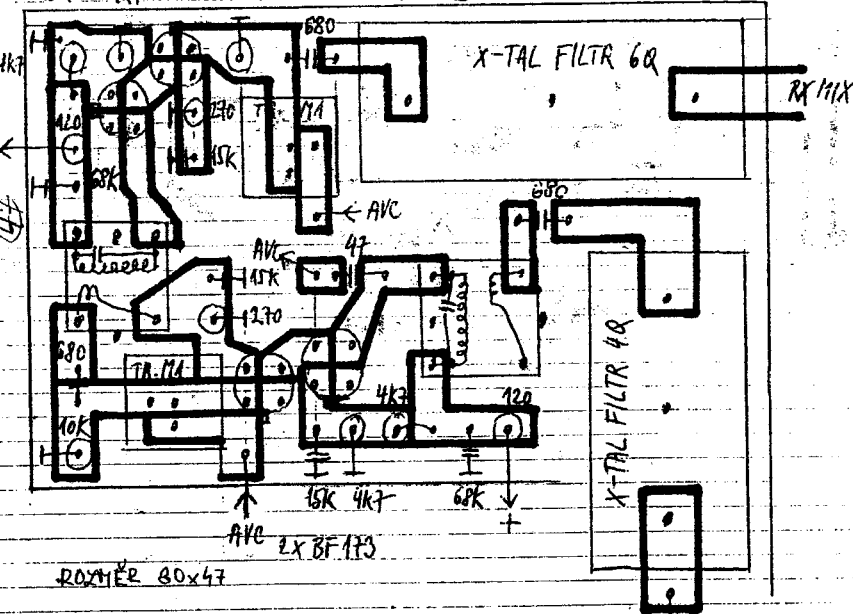
2x BF 173

NF. ZENIC

-44-

15K 4K7 10K

100 (80)



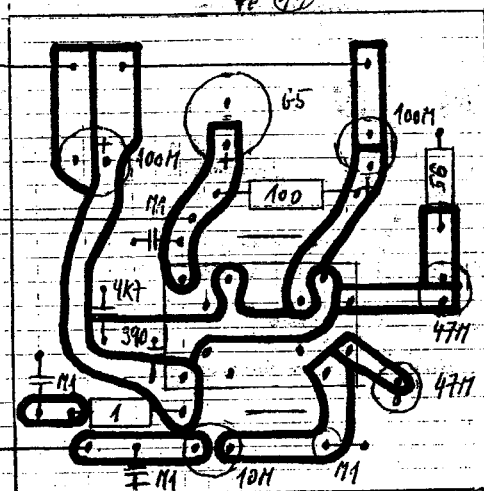
ROZMĚR 80x47

MBA 810

# (4)

REPRO

P. DET

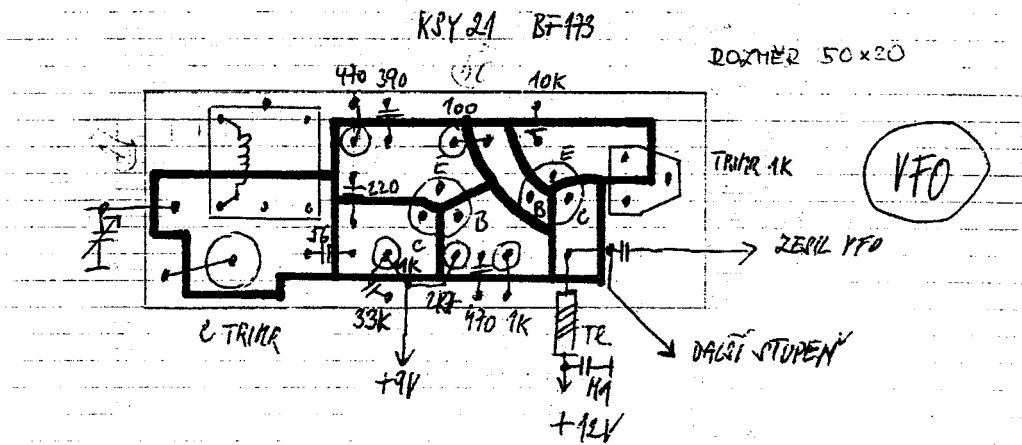
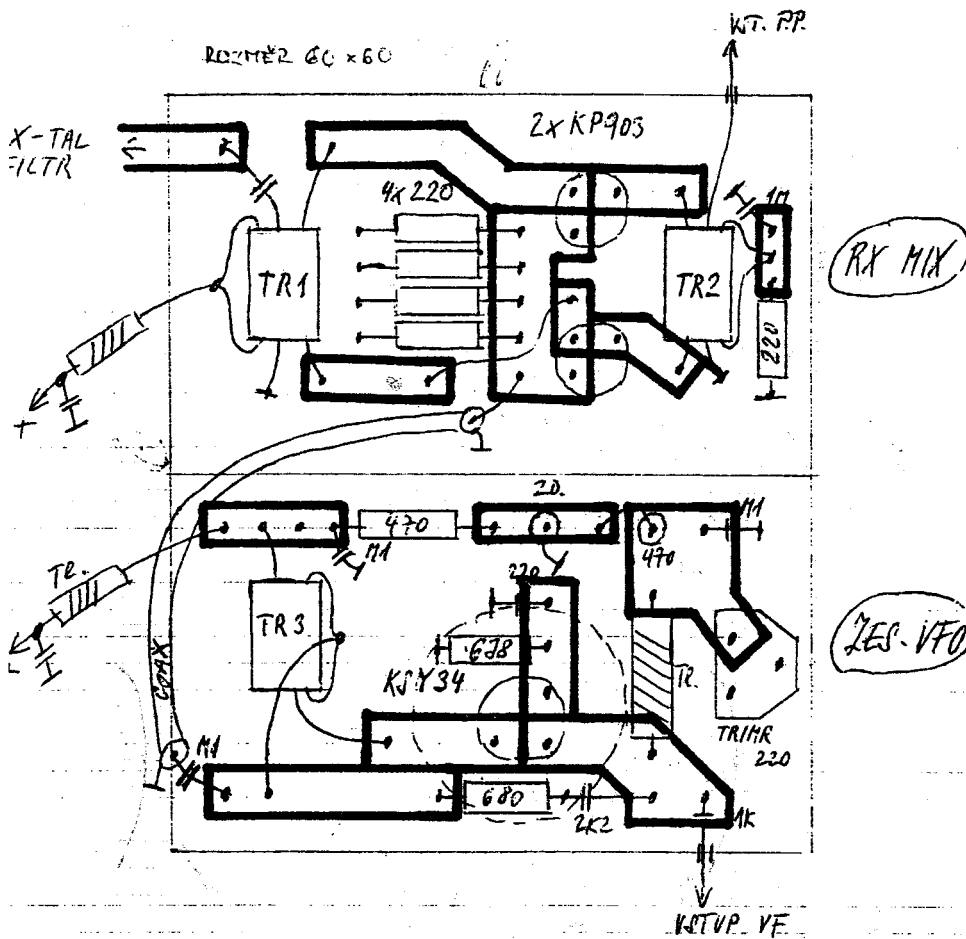


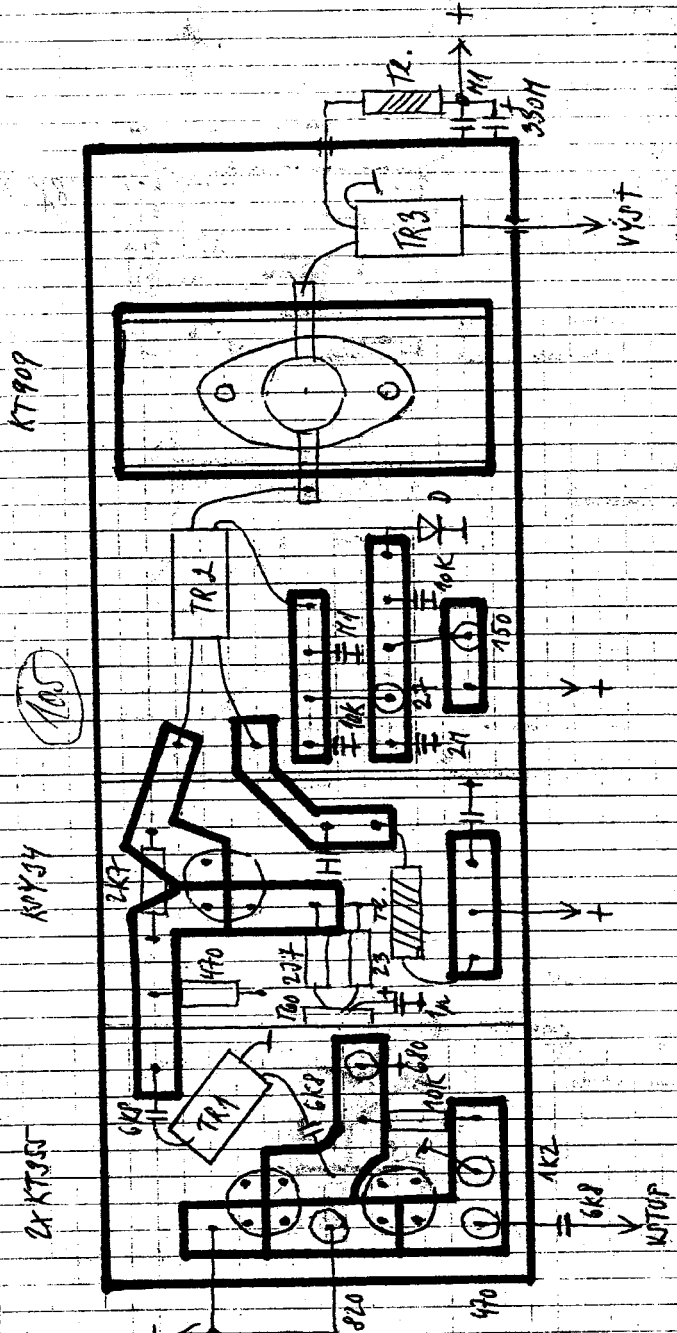
VÝSTUP

POTENCI

ROZMĚR 47x50

NF. YESILOVAC

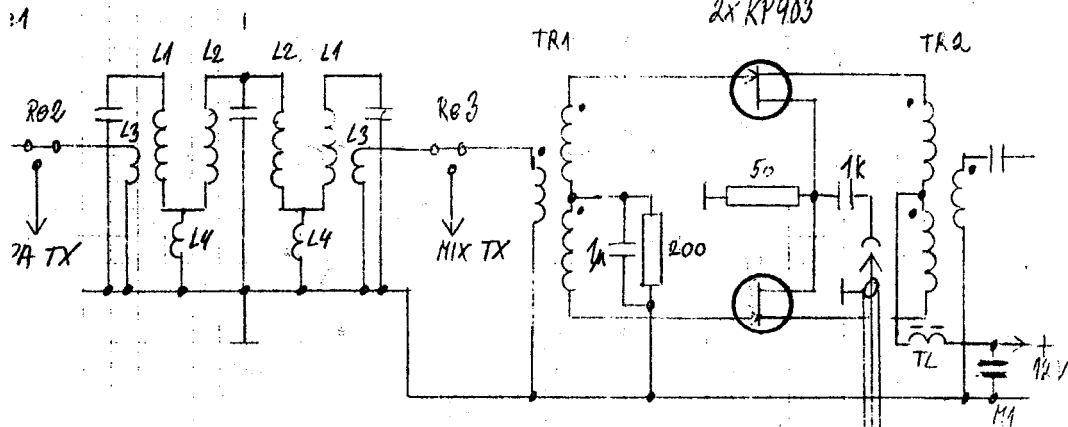




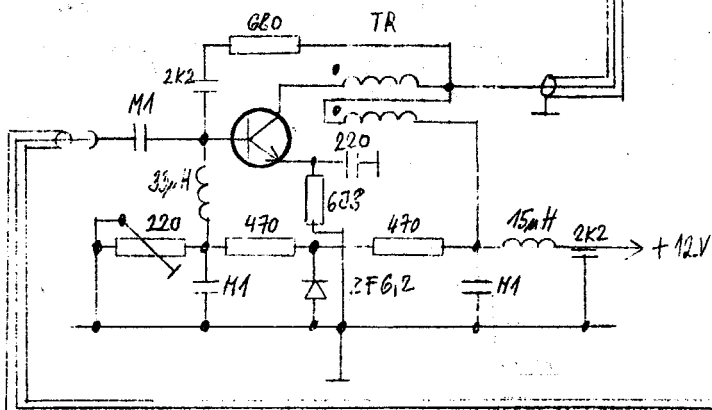
-44

(RX MIX)

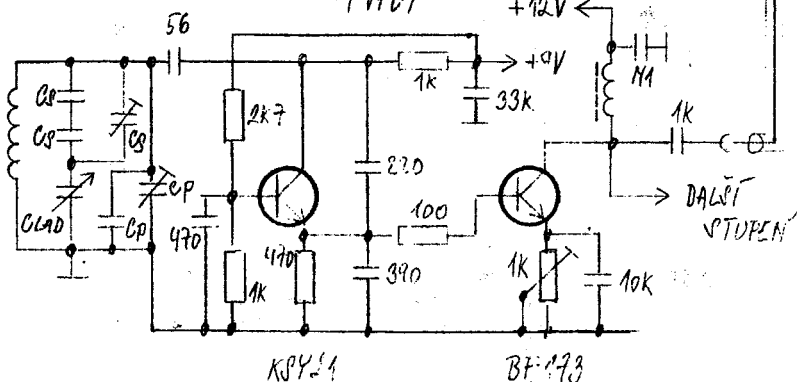
2x KP903



KSPY84 (ZEP. VFO)



(VFO)

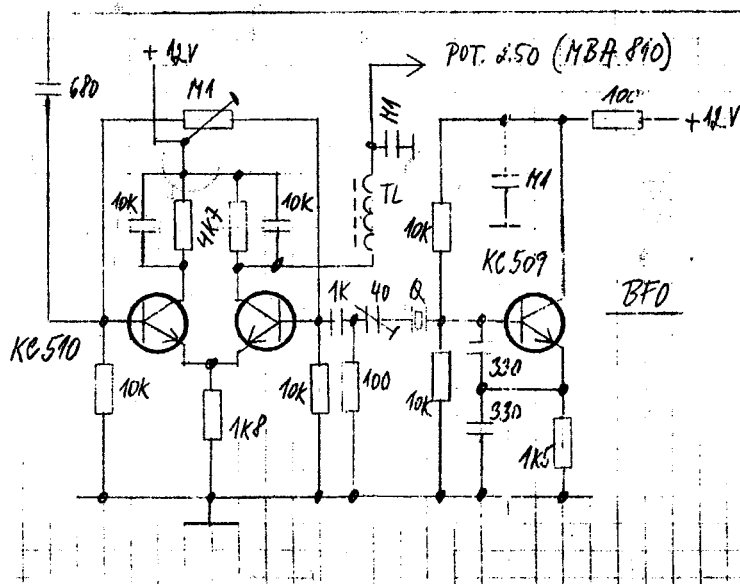
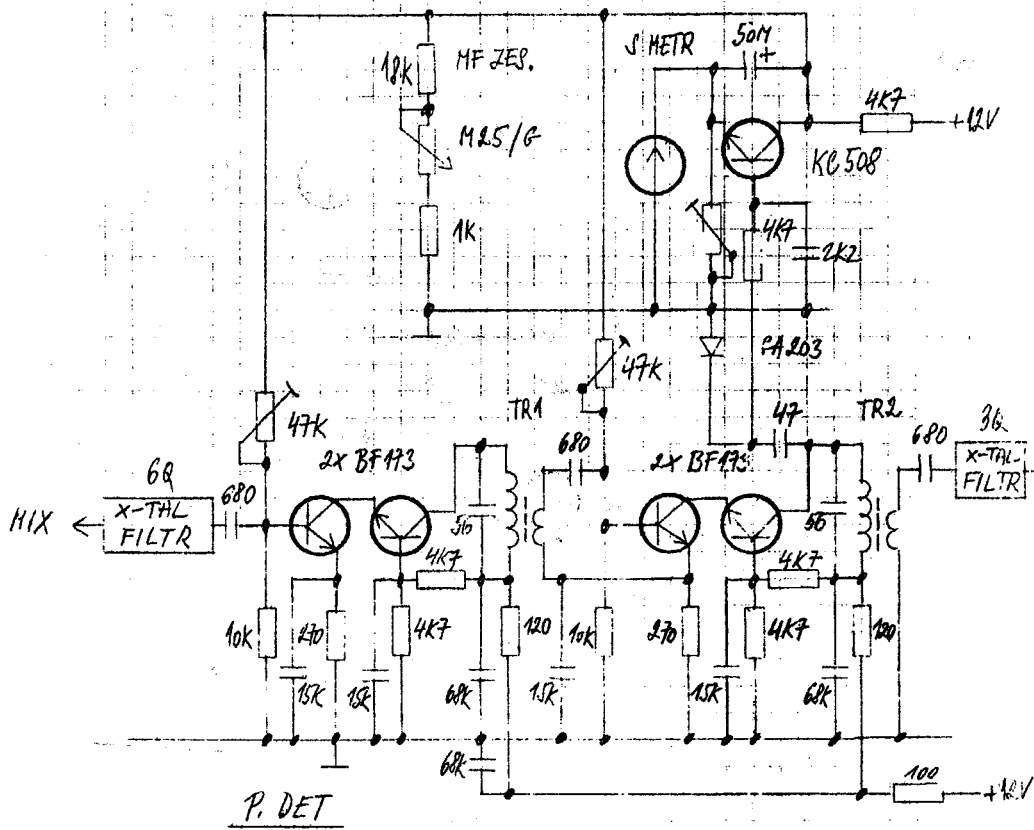


KSPY84

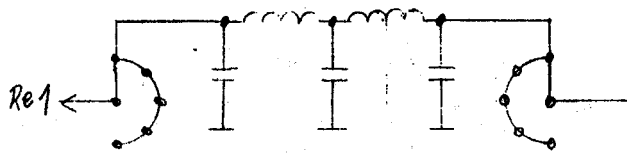
BF: 193

MF ZEPIL. + AVC

-45



EL TT

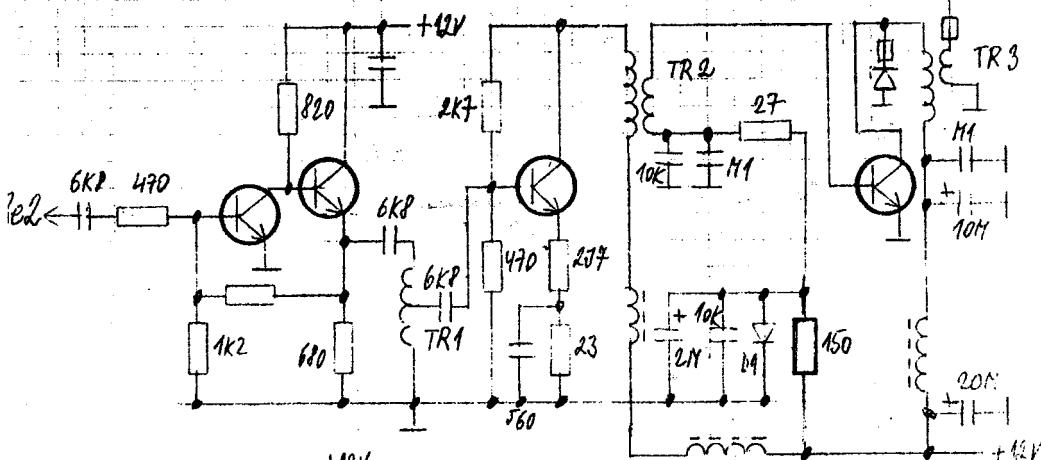


LINEAR PA

2x BF173

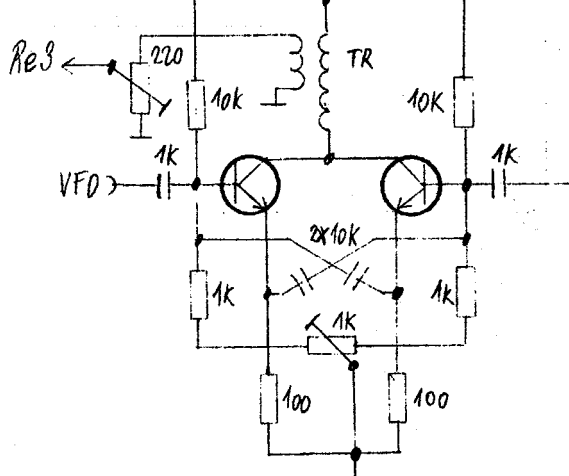
KCY34

K7909

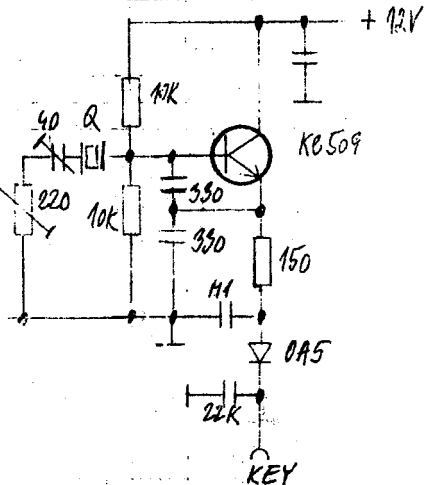


+12V

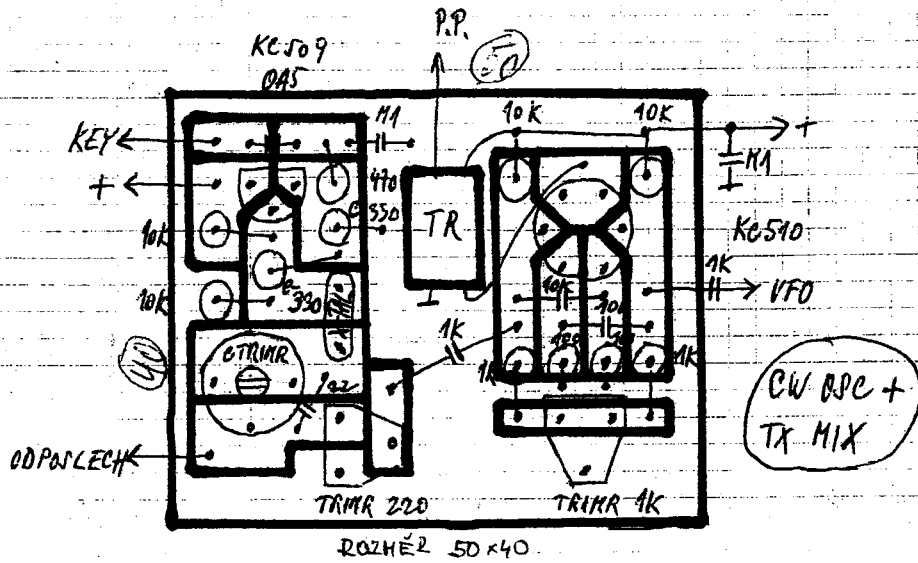
TX MIX



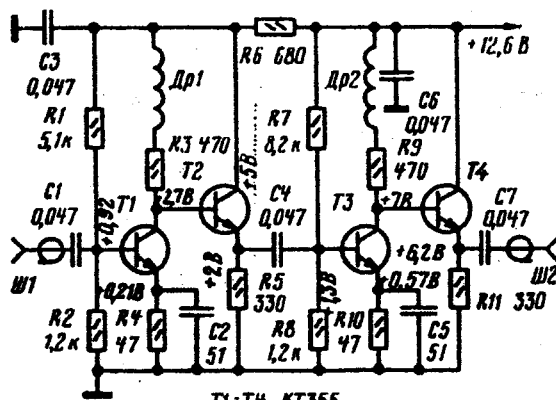
CW OSCIL



KEY



Širokopásmový aperiodicky zosilňovač VF  
(CM3WBW)



T1-T4 KT355

RADIO 10/1976

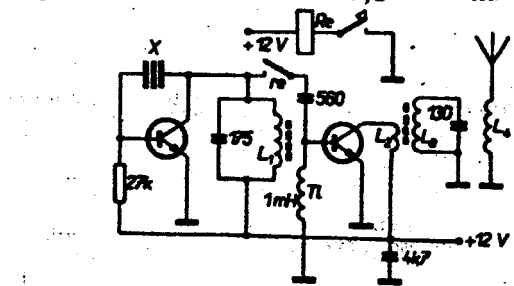
TX QRPP.

Pavel Jamerlegg

OM3WBM

Počty závitov cievok:

- L 1 20 záv. drôt ø 0,3 mm na kostre ø 6 mm /dolah.jadrom/  
 L 2,L 4 5 0,4 navinutá na L3  
 L 3 28 0,3 na kostre ø 6 mm /dolah.jadrom/



Přímen: Old Man č.6/1975  
 Autor: WB6BIH

### PSV - METR (OK1HEH)

Rozsah 1,8 - 30 MHz

Citlivost 0,5 - 100W

Impedance 50 ohmů

TR - 2x10záv CuL toroid pr.10 N1 žlutý bifilárně

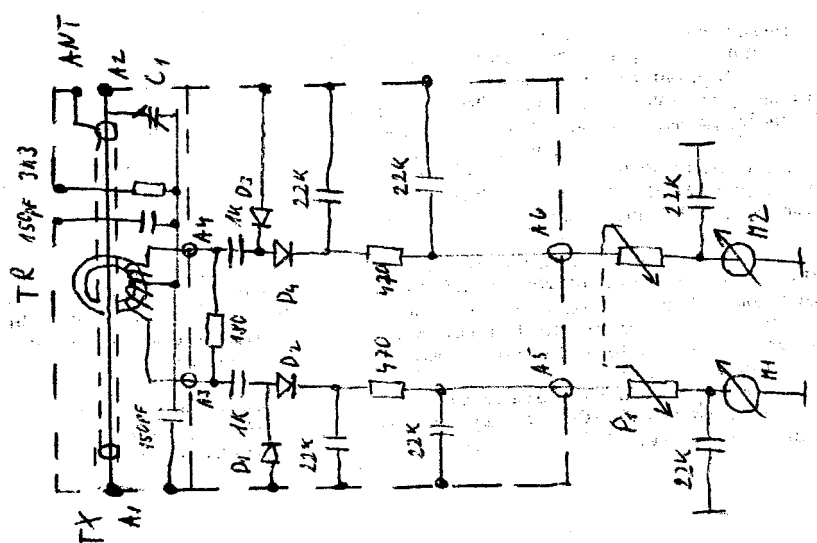
D1-D4 = 4xGA206 výběr

P1 - TP 280/N 2x500k nutno vybrat co nejlepší souběh

M1-M2 = MP40, 200uA

A1-A6 = skleněné průchody ze zener. diod.

Nastavení : Na svorku A2 připojit odpor 50ohmů 2W MLT  
 Potenciometrem P1 nastavit na M2 max výchylku  
 Trimrem C1 nastavit na M1 nulovou výchylku  
 Nastavování několikrát opakovat



# DVOUPÁSMOVÝ TRANSCEIVER ( OK2BZW )

19.10.

Původní záměr byl postavit malé jednoduché CW/SSB zařízení a nízkou spotrebou. Když jsem chtěl, aby to také něco umělo a při nízké spotrebě, tak to vyšlo poněkud složitější.

Základní údaje: pásmo 3,5 a 14 MHz s jedním VFO  
napájení 7,5-10V, nejlépe 7 článků NiCd  
spotřeba RX - tichý poslech 30mA  
TX - 0,6A  
VF výkon 2-4W

Vstupní obvody - směšovač, trafo a filtr. Signál prochází přes tříobvodové pásmové propusti přes relé do směšovače s UZ07, dále přes impedanční transformátor do osmikrystalového filtru. Při vysílání jde signál DSB z modulátoru do filtru a dále opačným směrem než v RXu přes relé do zesilovače TX.

Pásmové propusti jsou navinuty na kostřičkách z radiostanic Tesly Pardubice. Pásmo 3,5MHz má plnou kostru závitů, odbočka od zemního konce je na 8 závitů. Pásmo 14MHz má 16 závitů, odbočka je na 4 závitu od země, v obou případech drátem 0,2CuL. Cívky jsou v krytech, pro 3,5MHz jádro žluté, pro 14MHz zelené. Před zaletováním LC obvody dodadíme do pásmá GDO - bez krytu a jader. Impedanční transformátor má 3 x 5 závitů na menším dvouotvorovém jádru. Vineme třemi vodiči 0,35 CuL zkrocenými jedenkrát na lcm délky a zapojíme podle nákresu.

Dále jde signál z filtru do IO NE602 (612), kde se zesílí a smíchá s BFO na NF signál, který je dále zesilován v OZ, případně filtrován v CW filtru a nakonec zesílen v IO LM386. IO NE602 a OZ MAA741 jsou v klasickém zapojení. Zesílení v OZ nastavíme tak, aby celý NF zesilovač nekmital při plném zesílení. CW filtr je navržen tak, aby jej bylo možno vyměnit za jiný, nebo nepoužít jej vůbec.

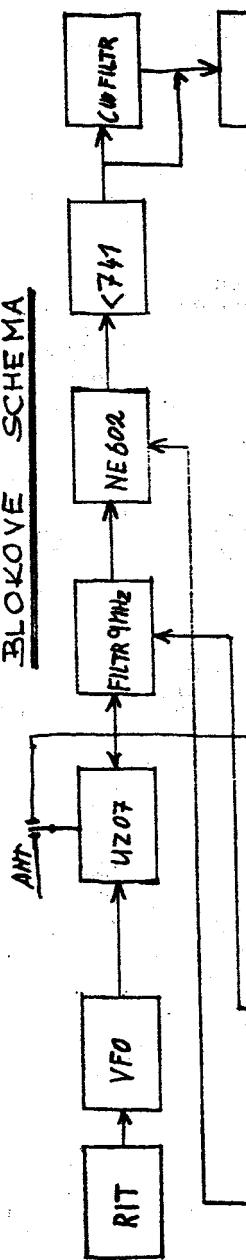
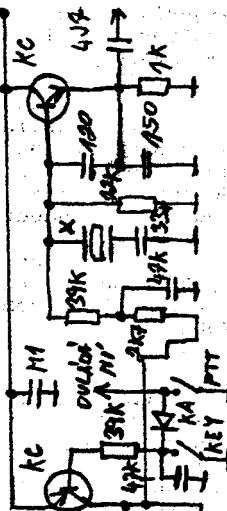
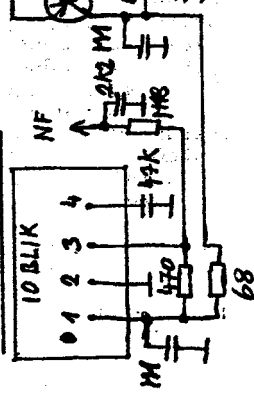
Uvedený filtr jsem odzkoušel, je hodně pracný. Indukčnosti jsou navinuté v hrníčkových jádřech 15mm, plná kostřička drátu 0,15CuL. Obě jádra jsou montovaná na sobě, přišroubované k plošnému spoji jedním mosazným šroubem M3. Tím vznikne vzájemná vazba. Pokud by toto nestačilo je nutné stupeň vazby zvýšit.

Zesilovač zaražený za LC obvody, nahrazuje jejich útlum. Potřebné zesílení se mění velikostí C v emitoru zesilovače. Zesilovač je na samostatné desce.

Ovládání - je složitější díky použitým relé QN 59933. Tato relé jsou z kapesních radiostanic VXW020 a pod. Jsou vyrobeny tak, že přepnou do opačného stavu a pak nepotřebují napájení. Tím ušetříme při vysílání asi 100mA. Napětí RX/TX spinají tranzistory PNP, nejlépe malé plastové KD. Tranzistor KC pomocí PTT nebo KEY sepne relé Rel. Po odzemnění báze KC se nabíjí G22. Po určité době se otevře KC636 a Rel se přepne zpět do polohy RX. Přepínače 1a a 2a připínají při SSB odpór 1k a tím zkrátí dobu sepnutí Rel na minimum. Obě relé musí spínat při napětí zhruba 7V.

V F O - je klasického zapojení kmitající v rozsahu 5 - 5,5MHz. Ladící kondenzátor není kritický a vyhoví se zakreslenými kapacitami. Pro přeladění je zapotřebí změny kapacity asi 25pF. Cívka v oscilátoru je na keramickém jádru 10mm, vlepěném do desky plošných spojů. Je v krytu a má asi 35 závitů drátu 0,25CuL a indukčnost 6-7uH.

Tlumivky jsou na feritových tyčinkách 2mm a délce 10mm, jsou navinuty drátem 0,1CuL a mají indukčnost 1mH. Výstupní trafo má 2x6 závitů na menším dvouotvorovém jádru. Vineme dvěma stočenými

BLOKOVÉ SCHEMAKRYSTAL. OSCILLATOR 9 MHzMONITOR CW

68

dráty 0,35CuL (lzkrut na 1cm). Za trafem následuje pí-článek na keramice nebo na novoduru 10mm. Má 14 závitů drátem 0,5mm a indukčnost 1,4uH. Výstupní napětí před UZ07 by mělo být 0,45V vf. Ve stabilizátoru napětí je první tranzistor Ge z důvodu menšího úbytku napětí. Odpor v jeho emitoru a bázi použijeme takový, aby při Ucc 7,5V tekl do stabilizátoru jen o málo větší proud než do VXO. Použitý RIT byl popsán v OOI. Odporem zapojeným z běžce na zem nastavíme potenciometr na střed dráhy při stejném napětí na varikapu při TX i RX. RIT se nevypíná, pouze se nastaví na nulu.

Monitor CW a XO 9MHz pro CW - Příposlech klíčování je tvořen oscilátorem s H10 BLIK (viz nákres, k dostání v GM). Po vytvarování je signál přiveden do NF. Tranzistor KC spiná napětí pro H10 a bázi XO. Krystalový oscilátor je nastaven na kmitočet o 1kHz menší než oscilátor LSB.

D S B - Vychází ze zapojení R2CW. Dále je třeba znát funkci A244 z AR B 6/1980. Mezifrekvenční zesilovač tohoto IO pracuje jako řízený modulační zesilovač. Bez zapnutého kompresoru (CMP) je na pinu 9 napětí asi 0,5V. Zesilovač pracuje lineárně, nedochází k regulaci. Při zapnutí CMP (napětí na pinu 9 asi 0,2V) dochází k řízení zesílení a tím ke stláčení horních křivek signálu - ke komprese. Směšovač IO pracuje jako modulátor DSB. Napěťové špičky na výstupu omezují řízený předzesilovač směšovače.

Výstupní trafo TR1. Vinutí je na kostře Tesla, má 2x10 závitů + 5 vazebních drátem 0,2CuL, zelené jádro + kryt. Výstupní tranzistor zesiluje signál na potřebnou úroveň. Obvod s diodami na výstupu vytváří ovládací napětí pro předzesilovač IO, v klidu asi. 170mV na pinu 3. Napětí VF z BFO na pinu 4 je asi 50mV. Nejlépe jej tak, že ubíráme trimrem tak dlouho, až začne klesat výstupní VF napětí na kolektoru tranzistoru.

B F O - jde o klasické zapojení oscilátorů. LSB nastavíme 1,5kHz nad střed krystalového filtru a u USB 1,5 kHz pod střed. Střed filtru nebývá vždy např. 9MHz, ale může být ujetý až o 200Hz. Toto je nutné ověřit. TR2 má 28 závitů drátem 0,2 a 4 závity 0,4CuL na toroidu 10mm z hmoty N1 (žlutý).

Zesilovač TX - Funkce je zřejmá ze schema. Emitor prvního tranzistoru je přizemněn přes relé a filtr. Odporem v kolektoru nastavíme napětí na 4V a odporem v emitoru T2 největší výkon PA. Klidový proud v budiči je 4mA a v PA 25mA. Tlumivky 1 až 3 jsou navinuty na malých toroidech nebo trubičkách z feritu, asi 10 závitů drátem o průměru odpovídajícím zatištění tlumivky. T11 by neměla mít menší indukčnost než 25uH. T14 má 65 závitů drátem 0,15CuL na odporu 820 ohmů a s kondenzátorem 3k3 tvoří omezení pro 3,5MHz. Tranzistory 2N3904 zde i ve VFO můžeme nahradit např. KF193. Výstupní trafo je kompromis vzhledem k nízké impedanci výstupního tranzistoru. Je na toroidu 10mm z hmoty N1 (žlutý) drátem 0,35CuL. Vinutý je 6-ti zkroucenými vodiči a má 8 závitů. Po navinutí sloučíme vinutí po dvou do třech cívek a zapojíme dle schematu.

Pí - články - 14MHz : vzduchové vinutí asi 11 závitů drátem 0,8mm CuL na obyčejnou tužku

3,5MHz: pouze na neferitový materiál. Použil jsem ferokartové jádro průměr 10mm o délce 10mm. Provrtil jsem jej vrtákem 5mm, rozfezal na polovinu a navinul 22 závitů drátu 0,35mm

Přepínač módu - je použit 4-polohový, dvoupaketový přepínač s trojitym rotorem Tesla WK 53346. Tento přepínač spíná zleva doprava tyto funkce SSB + CMP, SSB, CW a CW + filtr. LSB pro 3,5 a

USB pro 14MHz spiná přepínač pásem.

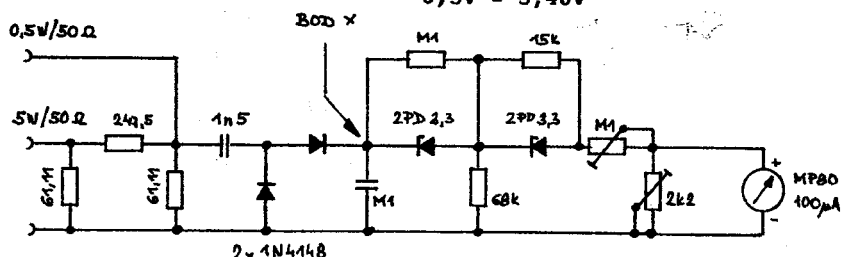
Použitá literatura: sborník Třinec 1989  
schema R2CW  
AMA 3/92  
OK QRP INFO - California  
vlastní zápisky

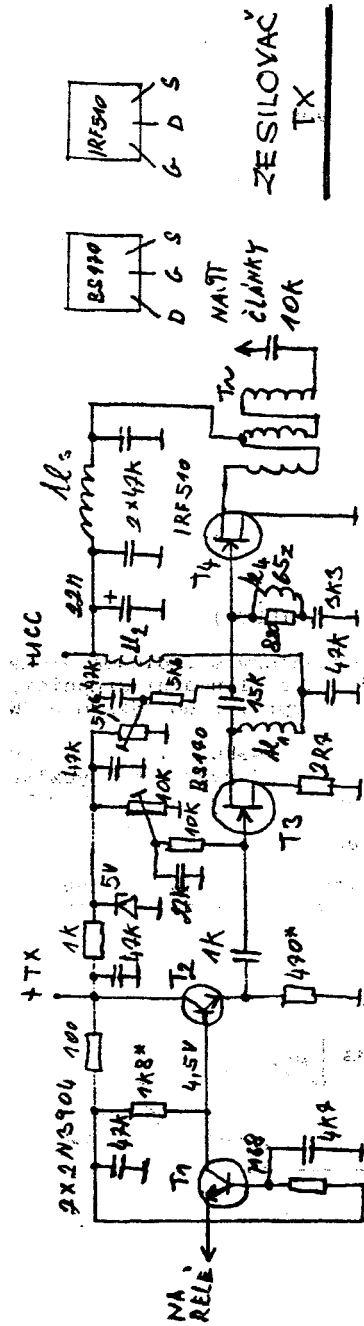
### WATTMETR PRO QRP ( OK1DEC )

Zapojení je prevzato z knihy Přednášky z radioamatérské radiotechniky 4. Odajně má pracovat do 1W s lineární stupnicí, což se mně nepodařilo. Proto jsem zapojení upravil do výkonu 0,5W s děličem -20dB pro 5W.

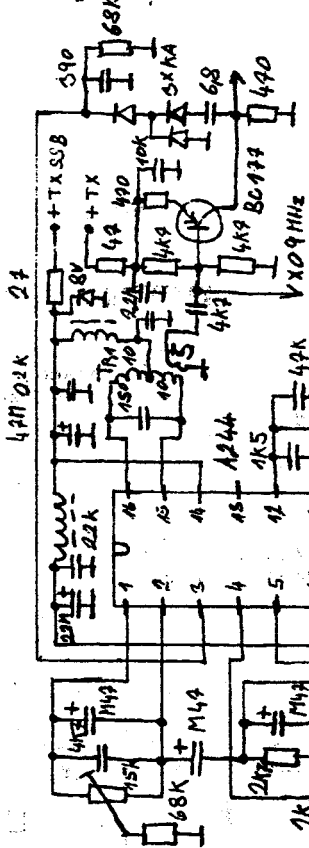
Nastavování: Wattmetr nastavujeme na rozsahu 0,1 a 0,4W. Do bodu x přivedeme ss napětí 6,3V a trimrem 2k2 nastavíme výčílku 80uA, potom do bodu x přivedeme napětí 3,15V a trimrem M1 nastavíme výčílku 20uA. Tento postup opakujieme tak dlouho, až se výčílky nemění. Trimry změříme a nahradíme pevnými odpory. Pak je wattmetr připraven pro měření VF.

|                              |              |              |
|------------------------------|--------------|--------------|
| Napětí přivedená do bodu x - | 0,1W = 3,15V | 0,4W = 6,30V |
|                              | 0,2W = 4,45V | 0,5W = 7,05V |
|                              | 0,3V = 5,46V |              |



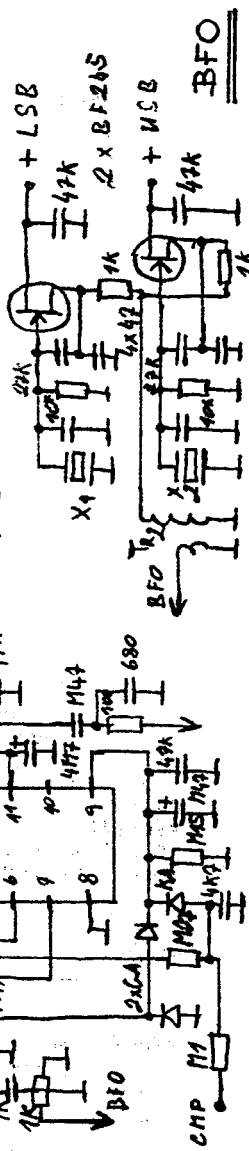


DSB



DVOUPRŠHOVÝ

TRANSCIEVER

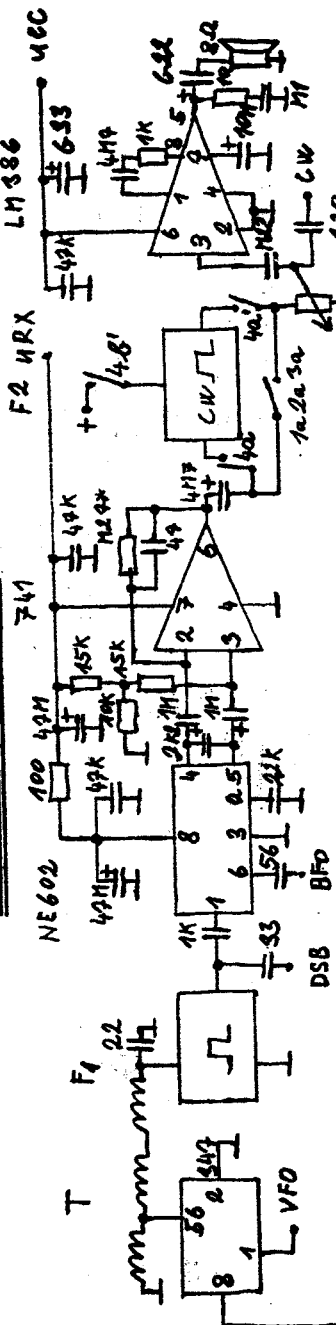


$+ LSB$

$+ USB$

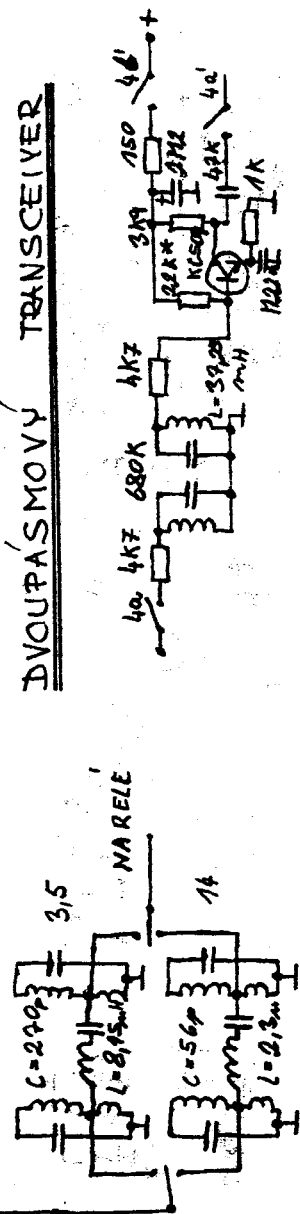
BFO

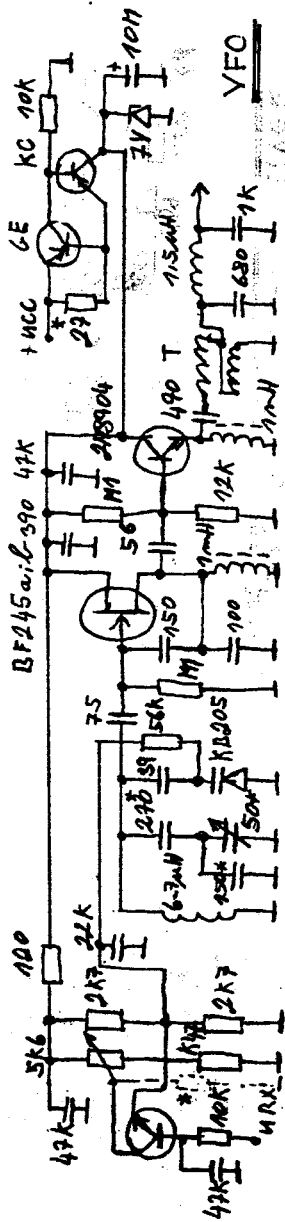
### VSTUPNÍ OBVODY



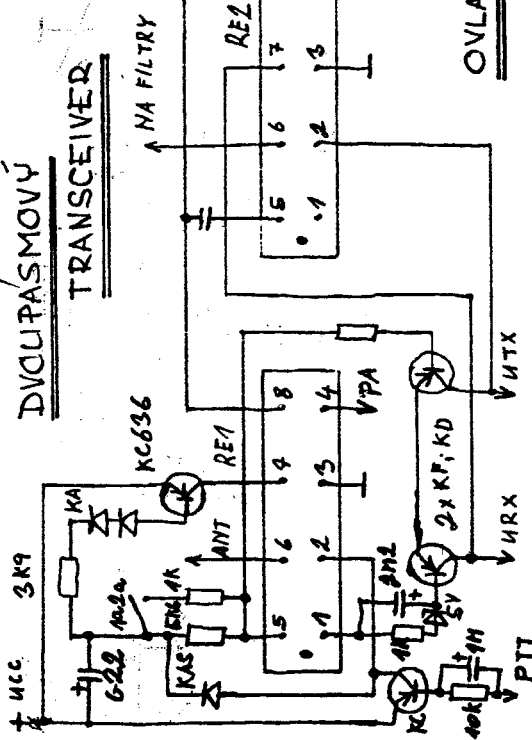
-54

### DVOUPÁSMOVÝ TRANSCIEVER





DVUUPASMOVÝ TRANSCE



VNITŘNÍ ZAPÍJENÍ / RELE  
T 651 A BN 599 33

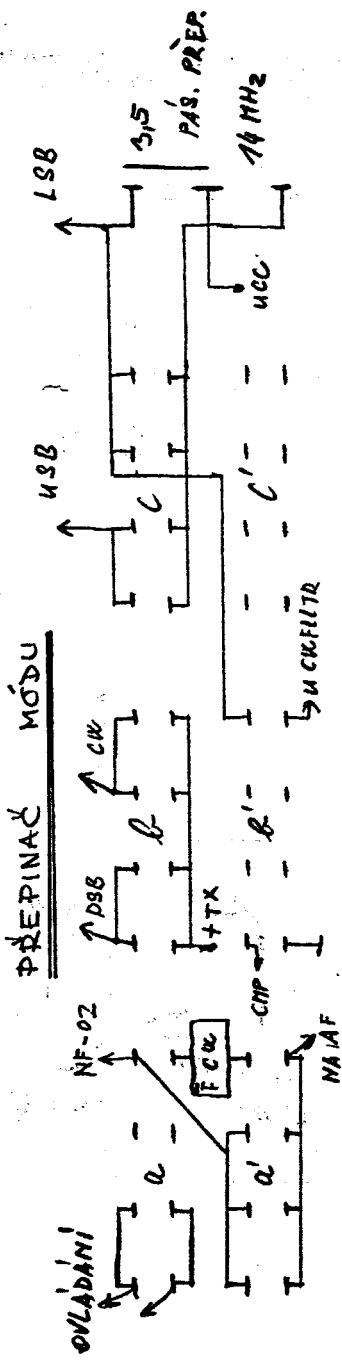
TESLA QH59933

ČERČECKA

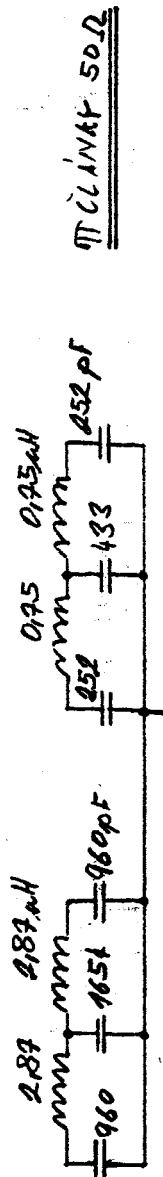
NA FILTRY

PROHLEDZENÍ SPODNÍ

OVLÁDÁNÍ

PŘEPINAC MÓDUDVOUPÁSMOVÝ TRASCEIVER

radi 3a 4a 1K 2K 3K 4K 1K 3C 4C - RECHT PHENOMENE.

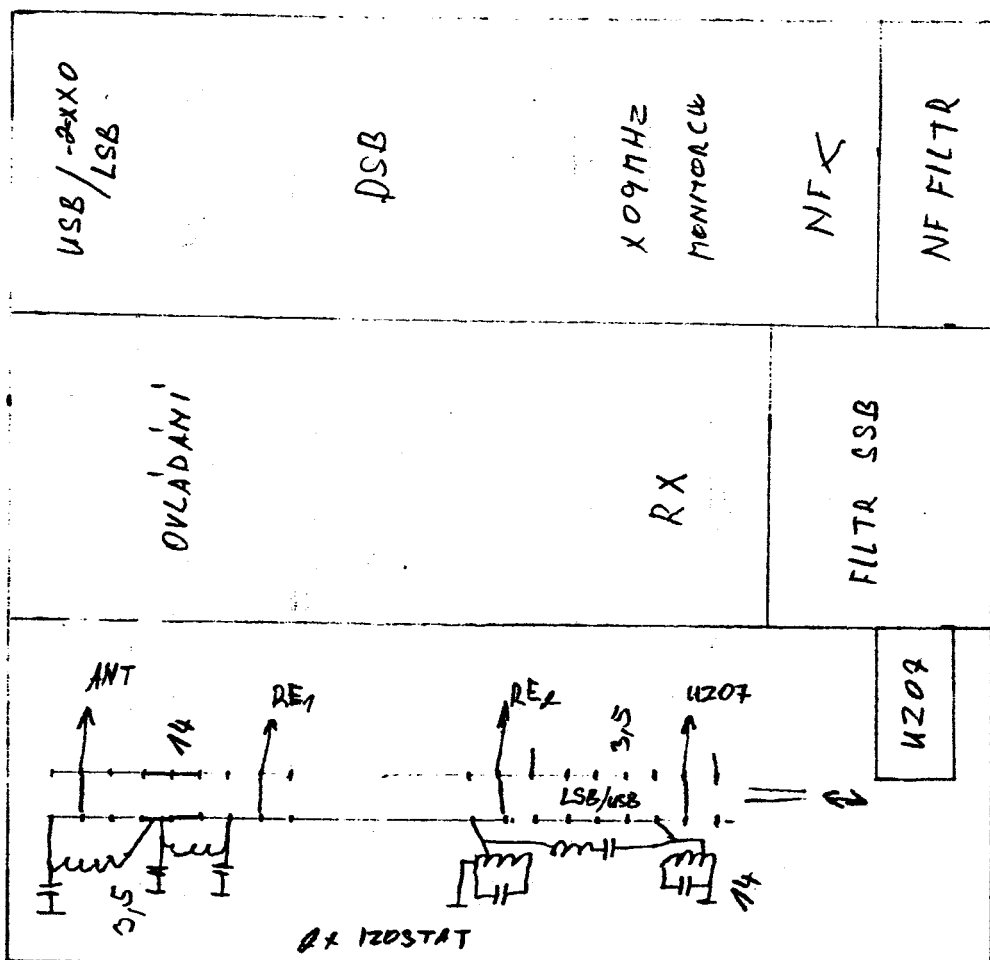


3,5

14

# DVOUPÁSMOVÝ TRANSCEIVER

## ROZMÍSTĚNÍ ČÁSTÍ



## PŘEPINATELNÉ VXO ( OKIDED )

Jedná se o oscilátor pro TRX o více pásmech. O problému bylo již mnoho řečeno, zde se jedná o nenáročné zařízení pro jednoduché přístroje. To je asi problém většiny našich "bastlů". Popsaný oscilátor však chodí spolehlivě a dá se postavit snadno a rychle a snad není bez významu skutečnost, že i lacino.

V případě, že se spokojíme s menším přefladěním, vyhrává zcela jednoznačně VXO. Důvody: velká stabilita bez pracného kompenzování, čistý signál, okamžitá pohotovost pro spojení. Amatéři často řeší problém více pásem tím, že používají vícenásobný ladící kondenzátor a k němu tolik VXO kolik je pásem. Toto se mi zdálo trochu neohrabané a tak jsem zkoušil toto:

Jedno zapojení VXO, jeden přepínač, krystalku a tahacích cívek tolik, kolik je pásem, ale jen jeden ladící kondenzátor. Nejdříve mě zarazila úvaha o nespolehlivosti přepínače, že to bude slabý článek řetězu a celkově to nebude k ničemu. Ale udělal jsem pokus a výsledek potěsil, chodí to! Oscilátor pro tři bandy 7, 21 a 28MHz chodí UFB a jsem si jist, že bude dobrý i ten šestipásmový, co mám rozdělaný (jen co seženu zbyvající krystaly). Jsou jenom dvě podmínky, které je nutno dodržet pro předpoklad úspěchu: Tahací cívky se nesmí nazvájet ovlivňovat. Proto musí být dostatečně daleko od sebe, což činí problém, nebo musí být v krytech. To je můj případ - cívky z VZN s krytem. Nejlepší jsou ovšem cívky na toroidních jádrech, ale nastavení do pásem dá trochu práce. Kdo má trpělivost a čas, ten použije tento způsob.

Plošný spoj nemohu poskytnout, sám jsem použil univerzální desku, určenou pro číslicovou techniku. Zapojení VXO je jednoduché, takže to jde celkem dobře. Casem se to zlepší, počítat už je doma, tak ještě program, naučit se s tím zacházet a budou plošné spoje na úrovni.

Tak takhle to vypadá. U WN704 jsem použil obě sekce 22,5pF zapojené paralelně. Přepínač WK533 35 nebo podobný o menším průměru a s hřidelem 3mm. Přepínač je upraven následujícím způsobem: Poslední sekce odstraněna, zadní víčko provrtáno, aby po opětovném sestavení mohl vychňávat plochý hřidel a bylo možné připevnit další přepínač do tandemu na přepínání vstupních obvodů a další tandem pro přepínání výstupních obvodů TXu.

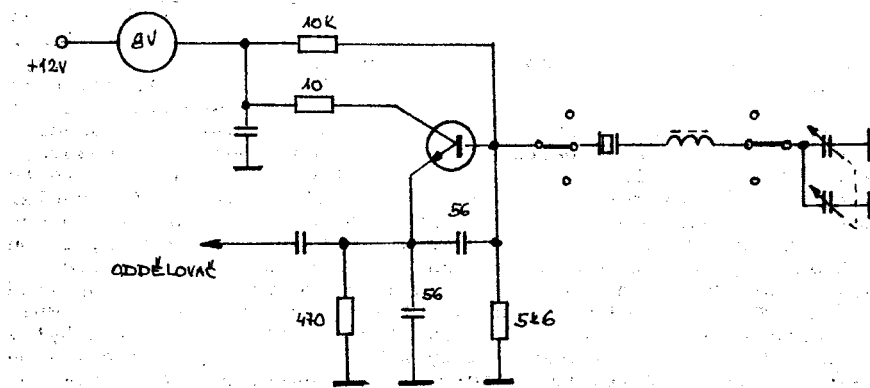
Výše jsem zapomněl na druhou podmínu úspěchu: tou je kompromis při volbě kapacit v děliči emitor - báze - zem tak, aby vyhovoval pro všechny krystaly. Používám MF kmitočet 9 nebo 10,7MHz, takže krystaly jsou si dost kmitočtově podobné a v děliči vyhoví všechny kapacity 56pF. Pro případ přímého směšování by byl asi problém, ale i to by šlo.

Napájení celého VXO je stabilizováno pomocí 78L08. Používám velké přefladění, až 120 kHz na pásmu 28MHz. Stabilita je i v tomto případě vynikající, ale mám problém, který jsem nevyřešil: Při poloze ladícího kondenzátoru - velká kapacita (více než 50%) se stává, že při přepnutí do jiného pásmá VXO nenasadí a je nutné přefladit výše, kde okamžitě nasadí. Je to jen malá daň za velké přefladění a platí i u jednoduchých VXO.

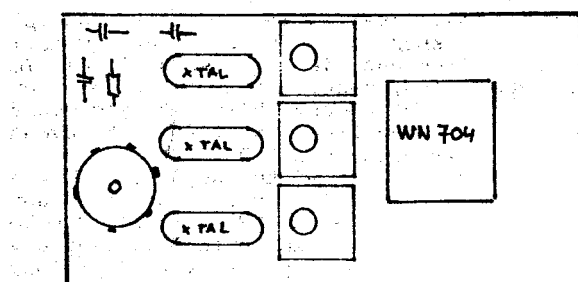
Co říci na závěr? Nemyslím, že by se jednalo o velký vynález, ale jsem přesvědčen, že potěší dost bastlů, tak jako v mé případě, kdy jsem potreboval jednoduchý oscilátor pro více pásem. Mnou právě stavěný TRX pro výše uvedená pásmá už chodí jako RX a to UFB. Na 7MHz je to jasné, ale i na 21 už jsem slyšel druhý konec světa. Tak mám radost a "jedu" pilně na TX - části.

PŘEPINATELNE VYO

78108



ZAMĚSTNÁVÁNÍ SOUČÁSTÍ



VYCHYŇAJOĆÍ HŘÍDEL

